

Označení	Datum	Popis změny	Vypracoval
REVIZE			

<div>GENERÁLNÍ PROJEKTANT</div> <div>ING. ARCH. PAVEL JURA A U T O R I Z O V A N Ý A R C H I T E K T GSM: +420 777 877 001 PAVEL.JURA@POST.CZ</div>		<div>PROJEKTANT ČÁSTI PD</div> <div>JP STATIKA, s.r.o. ŽIŽKOVA 5, 602 00 BRNO TEL.: 541 217 199 E-MAIL: STATIKA@STATIKA-BRNO.CZ IČ: 255 32 723</div>		<div>AUTORIZAČNÍ RAZÍTKO</div>	
<div>INVESTOR</div> <div>MĚSTO TIŠNOV NÁMĚSTÍ MÍRU 111, 666 19 TIŠNOV</div>		<div>ZODPOVĚDNÝ PROJEKTANT</div> <div>ING. VÁCLAV PŘIKRYL</div>			
		<div>VYPRACOVAL</div> <div>ING. VÁCLAV PŘIKRYL</div>			
<div>ČÁST PD</div> <div>STAVEBNĚ KONSTRUKČNÍ ČÁST</div>				<div>DATUM</div> <div>12/2018</div>	<div>PARÉ</div>
<div>NÁZEV STAVBY</div> <div>SMUTEČNÍ SÍŇ NA NOVÉM HŘBITOVĚ V TIŠNOVĚ KRAJ JIHMORAVSKÝ, MĚSTO TIŠNOV, K.Ú. TIŠNOV, P.Č. 1089/3</div>				<div>STUPEŇ PD</div> <div>DPS</div>	
				<div>ČÍSLO ZAKÁZKY</div> <div>J 4752</div>	
<div>OBJEKT</div> <div>SO 01 - SMUTEČNÍ SÍŇ</div>				<div>MĚŘÍTKO</div> <div>-</div>	
<div>NÁZEV PŘÍLOHY</div> <div>STATICKÝ VÝPOČET</div>				<div>ČÍSLO PŘÍLOHY</div> <div>02</div>	

## **Obsah**

Zatížení.....	3
Střešní deska.....	4
Ocelové sloupky.....	29
Zděné pilíře.....	31
Opěrné stěny .....	33
Patka .....	45

## Zatížení - stálé

( zatížení dle ČSN EN 1991 - 1 )

### Stálé - střecha

	tl. (m)	kN/m <sup>3</sup>	kN/m <sup>2</sup>	$\gamma_G$	kN/m <sup>2</sup>
substrát			2,85	1,35	3,85
tepelná izolace	0,30	0,30	0,09	1,35	0,12
spádový klín	0,20	0,30	0,06	1,35	0,08
střecha 0,2 m	0,20		4,60	1,35	6,21
			<b>7,60</b>	1,35	10,26
plošné zatížení	1	m	<b>7,60</b>	kN/m	

## Zatížení - proměnné

( zatížení dle ČSN EN 1991 - 1, 2, 3 )

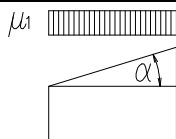
### Užitné zatížení

	kN/m <sup>2</sup>	$\gamma_Q$	kN/m <sup>2</sup>
<b>C3</b> - muzea, síně, vstupní haly	5,0	1,5	7,50

### Klimatické zatížení - sních

#### III. sněhová oblast

normové zatížení sněhem	$s_k = 1,5$	kN/m <sup>2</sup>			
sklon střechy	$\alpha_1 = 5$	°			
tvarový součinitel	$\mu_1 = 0,80$				
souč. expozice	$C_e = 1,0$				
tepelný souč.	$C_i = 1,0$	zš (m)	kN/m	$\gamma_Q$	kN/m <sup>2</sup>
zatížení sněhem	$s_n = C_e \cdot C_i \cdot s_k =$	1,00	<b>1,20</b>	1,5	1,80



### Klimatické zatížení - vítr

#### III. větrová oblast

základní rychlost větru  $v_{b,0} = 27,50$  m/s

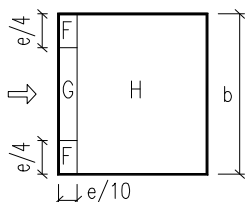
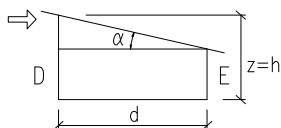
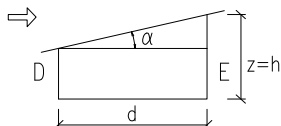
#### III. kategorie terénu

		$c_{dir} = 1,0$	$z_0 = 0,300$	m
výška objektu	$z = 4,0$	$c_{season} = 1,0$	$z_{min} = 5,0$	m
délka objektu	$d = 36,0$	$c_0(z) = 1,0$	$z_{max} = 200$	m
šířka objektu	$b = 12,0$	$k_l = 1,0$	$z_{0,II} = 0,05$	m

max. dynamický tlak větru  $q_p(z) = 0,61$  kN/m<sup>2</sup>

sklon střechy  $\alpha_1 = 5$  °

tlak větru  $w_e = c_{pe} \cdot q_p(z)$



oblast	$c_{pe}$	zš (m)	kN/m	$\gamma_Q$	kN/m
F	-1,70	1,00	-1,03	1,50	-1,54
G	-1,20	1,00	-0,73	1,50	-1,09
H	-0,60	1,00	-0,36	1,50	-0,54
F	-2,30	1,00	-1,39	1,50	-2,09
G	-1,30	1,00	-0,79	1,50	-1,18
H	-0,80	1,00	-0,48	1,50	-0,73
D	0,70	1,00	0,42	1,50	0,64
E	-0,30	1,00	-0,18	1,50	-0,27

$e = 8,0$  m  
 $e/10 = 0,8$  m  
 $e/4 = 2,0$  m  
 $h/d = 0,111111$  m


$e = \text{menší z hodnot } 2z; b$

# 1. Střešní deska

## 2. Obsah

1. Střešní deska	1
2. Obsah	1
3. Materiály	1
4. Schéma označení žeber a desek	2
5. Plochy	3
6. Průřezy	3
7. Zatěžovací stavy	4
8. Plošné zatížení	4
9. Stálé / Hodnota pro výpočet / Hodnota / Popis excentricity	5
10. Sníh / Hodnota pro výpočet / Hodnota / Popis excentricity	6
11. Kombinace	7
12. Kombinace pro beton	7
13. Vnitřní síly EN 1992-1-1; $M_y$	8
14. Vnitřní síly EN 1992-1-1; $V_z$	9
15. Vnitřní síly na prutu	10
16. Návrh $A_s$ EN 1992-1-1; $A_s$ nutná celková	12
17. Návrh $A_s$ EN 1992-1-1	13
18. Plochy - návrh - nutné plochy; $A_{s2+}$	14
19. Plochy - návrh - nutné plochy; $A_{s1+}$	15
20. Plochy - návrh - nutné plochy; $A_{s2-}$	16
21. Plochy - návrh - nutné plochy; $A_{s1-}$	17
22. Schéma podpor -označení	18
23. Reakce	19
24. Reakce; $R_z$ - MSP	21
25. Reakce; $R_z$ - MSU	22
26. Plochy - průhyby - nelineární s dotvarováním; $U_z$	23

## 3. Materiály

Jméno	Typ	$\rho$ [kg/m <sup>3</sup> ]	Hustota v čerstvém stavu [kg/m <sup>3</sup> ]	$E_{mod}$ [MPa]	$\mu$	$\alpha$ [m/mK]	$f_{c,k,28}$ [MPa]	Barva
C30/37	Beton	2500,00	2600,00	3,2800e+04	0.2	0,01e-003	30,00	

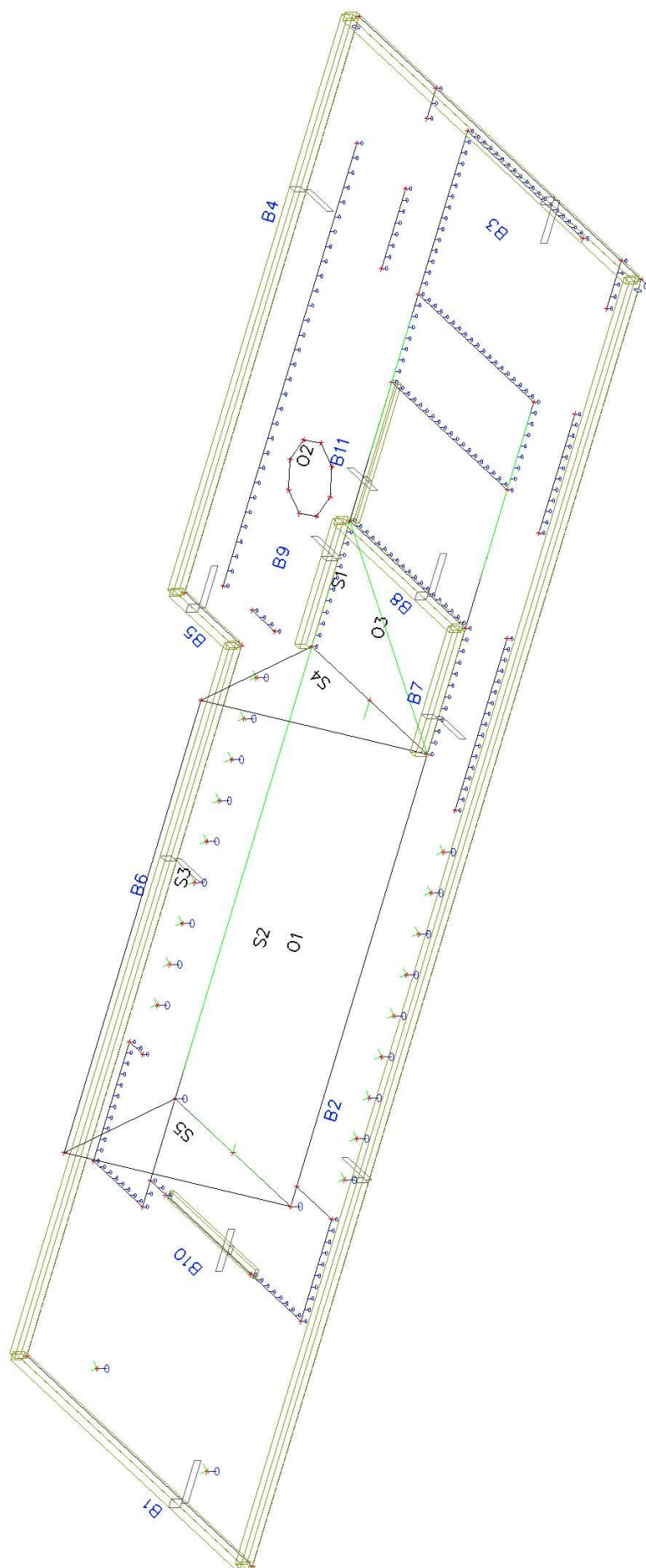
### Vysvětlivky symbolů

Hustota v čerstvém stavu	Hodnota hustoty v čerstvém stavu se použije pouze v případě, že je zadána spřažená deska a její vlastní tíha se zohledňuje.
--------------------------	---

### Výztuž EC2

Jméno	Typ	$\rho$ [kg/m <sup>3</sup> ]	$E_{mod}$ [MPa]	$G_{mod}$ [MPa]	$\alpha$ [m/mK]	$f_{y,k}$ [MPa]
B 500B	Výztužná ocel	7850,00	2,0000e+05	8,3333e+04	0,01e-003	500,0

#### 4. Schéma označení žeber a desek



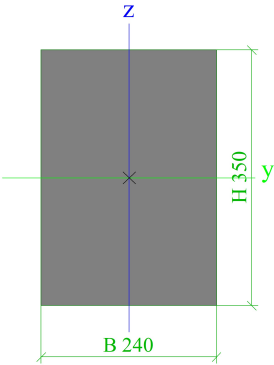
5. Plochy

Jméno	Vrstva	Typ	Typ prvku	Materiál	Typ tloušťky	Tl. [mm]
S1	deska	deska (90)	Standard	C30/37	konstantní	200
S2	deska	deska (90)	Standard	C30/37	konstantní	200
S3	deska	deska (90)	Standard	C30/37	konstantní	200
S4	deska	deska (90)	Standard	C30/37	konstantní	200
S5	deska	deska (90)	Standard	C30/37	konstantní	200

6. Průřezy

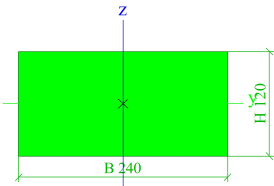
CS1		
Typ	Obdélník	
Detailní	350; 240	
Materiál	C30/37	
Výroba	beton	
A [m²]	8,4000e-02	
A <sub>y</sub> [m²], A <sub>z</sub> [m²]	7,0000e-02	7,0000e-02
I <sub>y</sub> [m⁴], I <sub>z</sub> [m⁴]	8,5750e-04	4,0320e-04
W <sub>el.y</sub> [m³], W <sub>el.z</sub> [m³]	4,9000e-03	3,3600e-03
W <sub>pl.y</sub> [m³], W <sub>pl.z</sub> [m³]	0,0000e+00	0,0000e+00
I <sub>w</sub> [m⁶], I <sub>t</sub> [m⁴]	0,0000e+00	9,3019e-04
d <sub>y</sub> [mm], d <sub>z</sub> [mm]	0	0
c <sub>y.UCS</sub> [mm], c <sub>z.UCS</sub> [mm]	120	175
α [deg]	0,00	
M <sub>pl.y.+</sub> [Nm], M <sub>pl.y.-</sub> [Nm]	0,00	0,00
M <sub>pl.z.+</sub> [Nm], M <sub>pl.z.-</sub> [Nm]	0,00	0,00
A <sub>L</sub> [m²/m], A <sub>D</sub> [m²/m]	1,1800e+00	1,1800e+00

Obrázek



CS2		
Typ	Obdélník	
Detailní	120; 240	
Materiál	C30/37	
Výroba	beton	
A [m²]	2,8800e-02	
A <sub>y</sub> [m²], A <sub>z</sub> [m²]	2,4000e-02	2,4000e-02
I <sub>y</sub> [m⁴], I <sub>z</sub> [m⁴]	3,4560e-05	1,3824e-04
W <sub>el.y</sub> [m³], W <sub>el.z</sub> [m³]	5,7600e-04	1,1520e-03
W <sub>pl.y</sub> [m³], W <sub>pl.z</sub> [m³]	0,0000e+00	0,0000e+00
I <sub>w</sub> [m⁶], I <sub>t</sub> [m⁴]	6,0039e-08	9,4694e-05
d <sub>y</sub> [mm], d <sub>z</sub> [mm]	0	0
c <sub>y.UCS</sub> [mm], c <sub>z.UCS</sub> [mm]	120	60
α [deg]	0,00	
M <sub>pl.y.+</sub> [Nm], M <sub>pl.y.-</sub> [Nm]	0,00	0,00
M <sub>pl.z.+</sub> [Nm], M <sub>pl.z.-</sub> [Nm]	0,00	0,00
A <sub>L</sub> [m²/m], A <sub>D</sub> [m²/m]	7,2000e-01	7,2000e-01

Obrázek



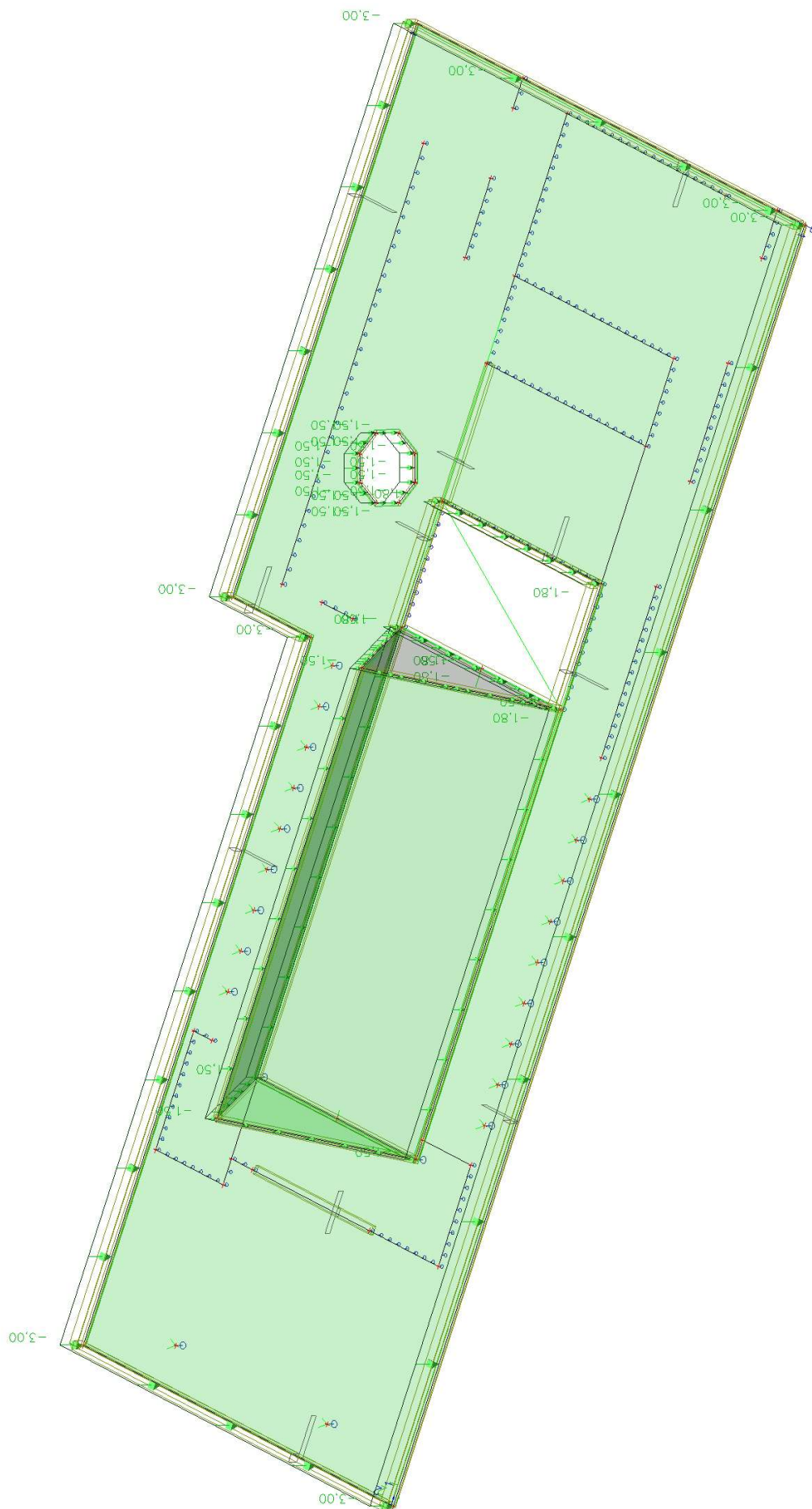
## 7. Zatěžovací stavy

Jméno	Popis	Typ působení	Skupina zatížení	Směr	Působení	Řídící zat. stav
	Spec	Typ zatížení				
Vlastní		Stálé	LG1	-Z		
		Vlastní tíha				
Stálé		Stálé Standard	LG1			
Sníh		Proměnné	LG2		Střednědobé	Žádný
	Standard	Statické				

## 8. Plošné zatížení

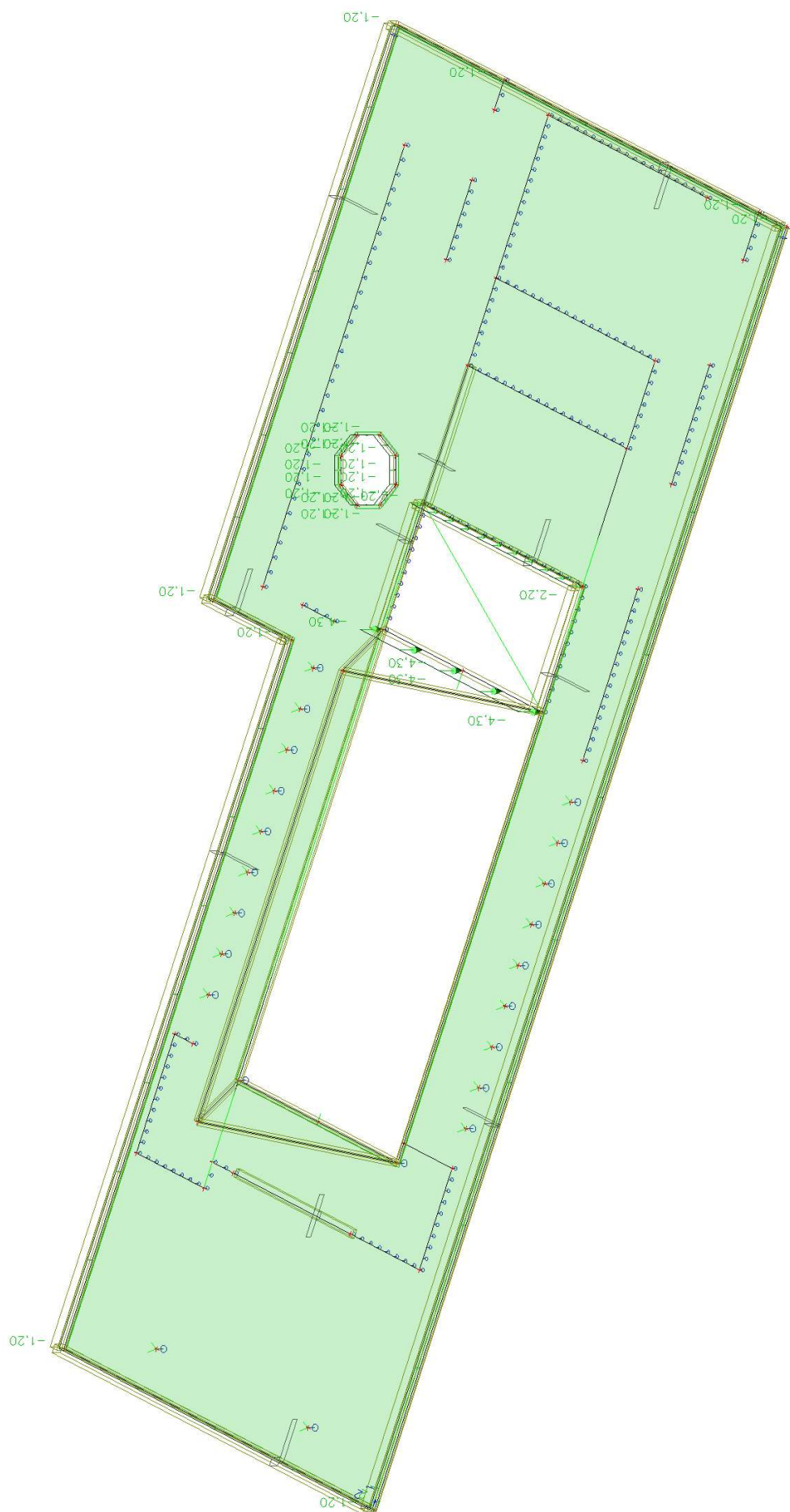
Jméno	Směr	Typ	Hodnota [kN/m <sup>2</sup> ]	Plocha	Zatěžovací stav	Systém	Poloha
SF1	Z	Síla	-1,20	S1	Sníh	LSS	Délka
SF2	Z	Síla	-3,00	S1	Stálé	LSS	Délka
SF3	Z	Síla	-1,50	S2	Stálé	GSS	Délka
SF4	Z	Síla	-1,50	S3	Stálé	GSS	Délka
SF5	Z	Síla	-1,50	S4	Stálé	GSS	Délka

**9. Stálé / Hodnota pro výpočet / Hodnota / Popis excentricity**





### 10. Sníh / Hodnota pro výpočet / Hodnota / Popis excentricity



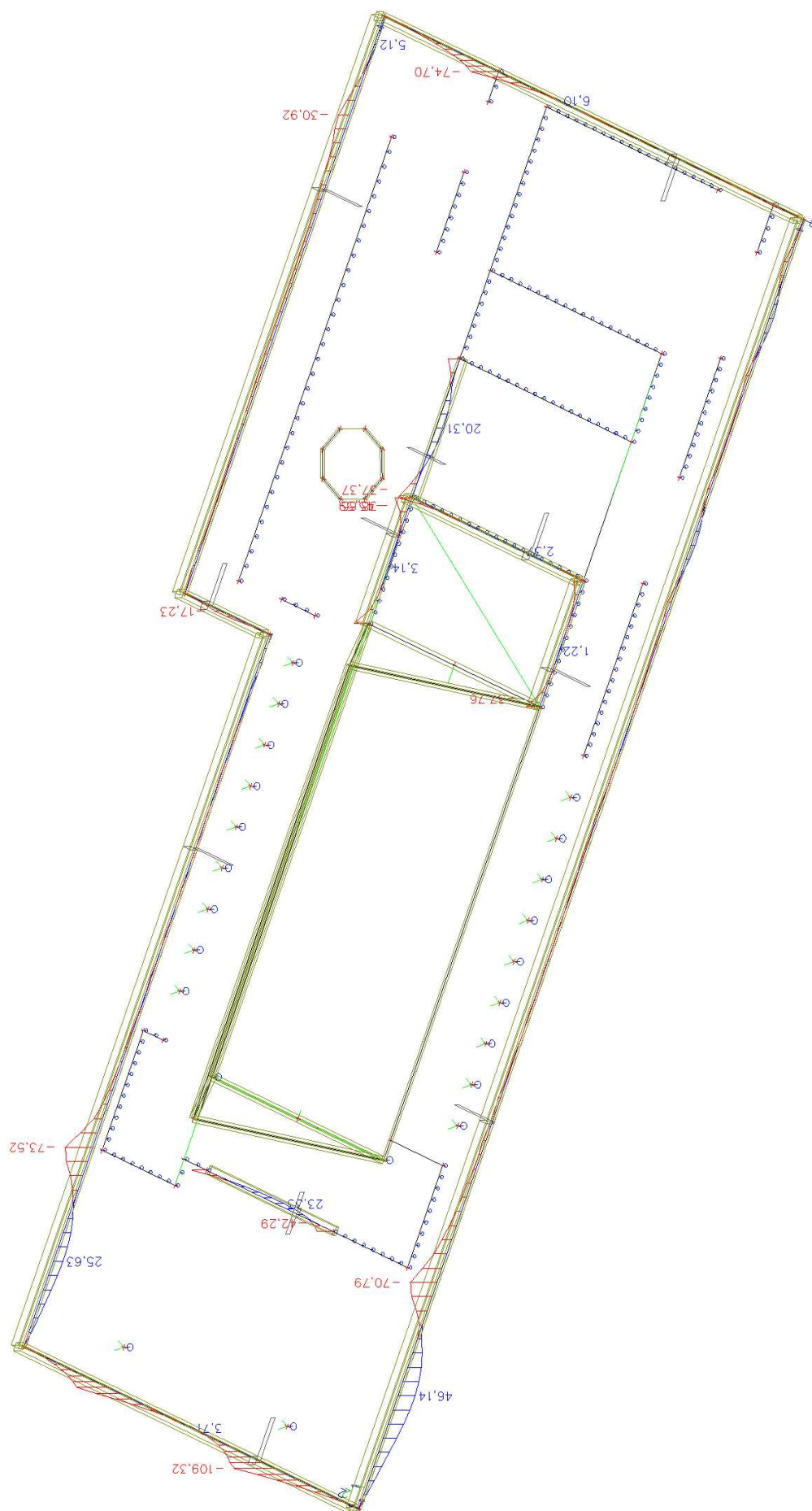
## 11. Kombinace

Jméno	Popis	Typ	Zatěžovací stavy	Souč. [-]
CO1		EN-MSÚ (STR/GEO) Soubor B	Vlastní	1,00
			Stálé	1,00
			Sníh	1,00
CO2		EN-MSP charakteristická	Vlastní	1,00
			Stálé	1,00
			Sníh	1,00

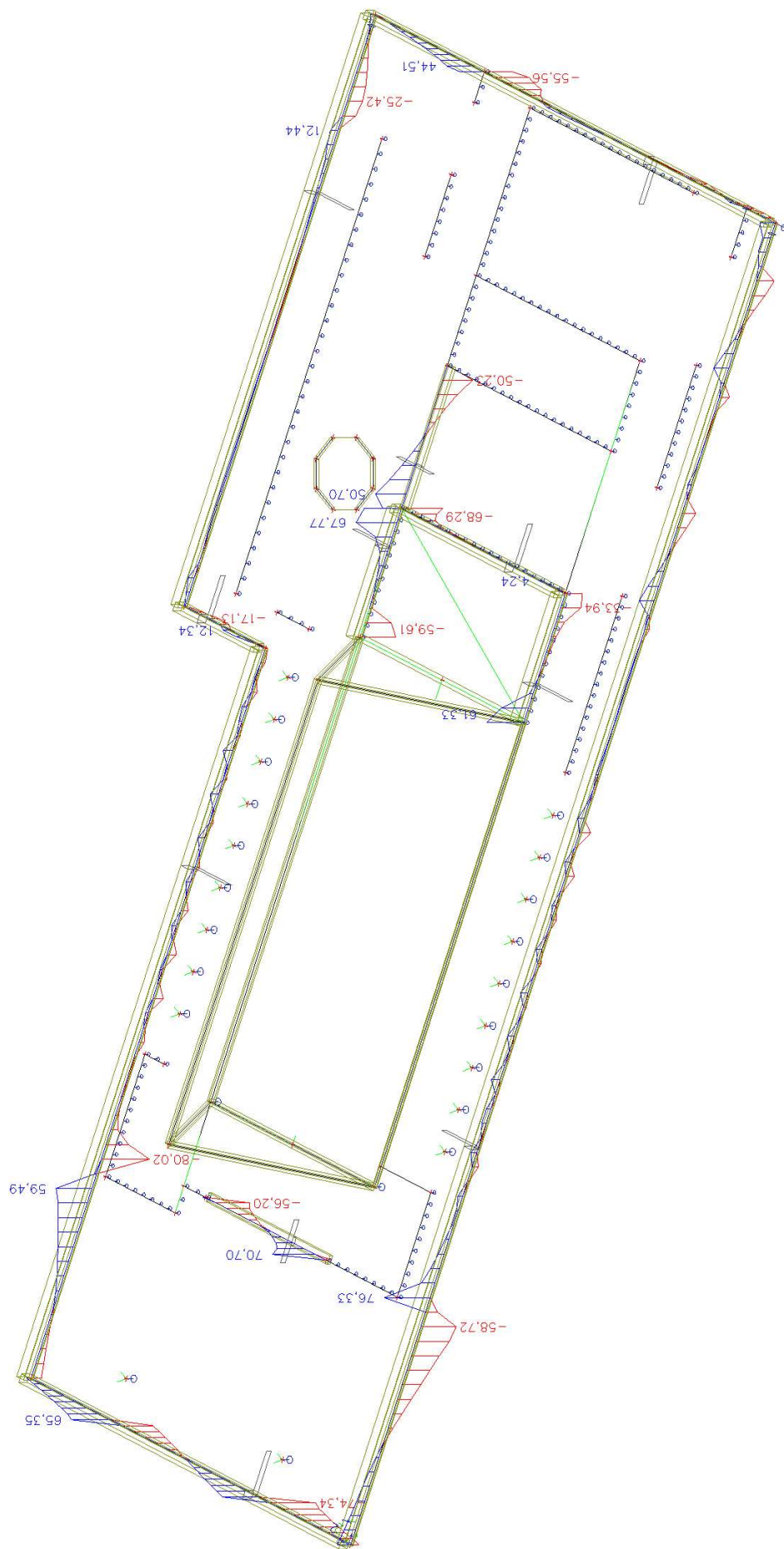
## 12. Kombinace pro beton

Jméno	Zatěžovací stavy	Souč. [-]	kombinaci použít pro určení průhybu od dotvarování
			kombinaci použít pro určení průhybu od dlouhodobých zatížení
CC1	Vlastní	1,00	✓
	Stálé	1,00	✓
	Sníh	1,00	

### 13. Vnitřní síly EN 1992-1-1; $M_y$



## 14. Vnitřní síly EN 1992-1-1; Vz



## 15. Vnitřní síly na prutu

Lineární výpočet, Extrém : Dílec, Systém : Hlavní

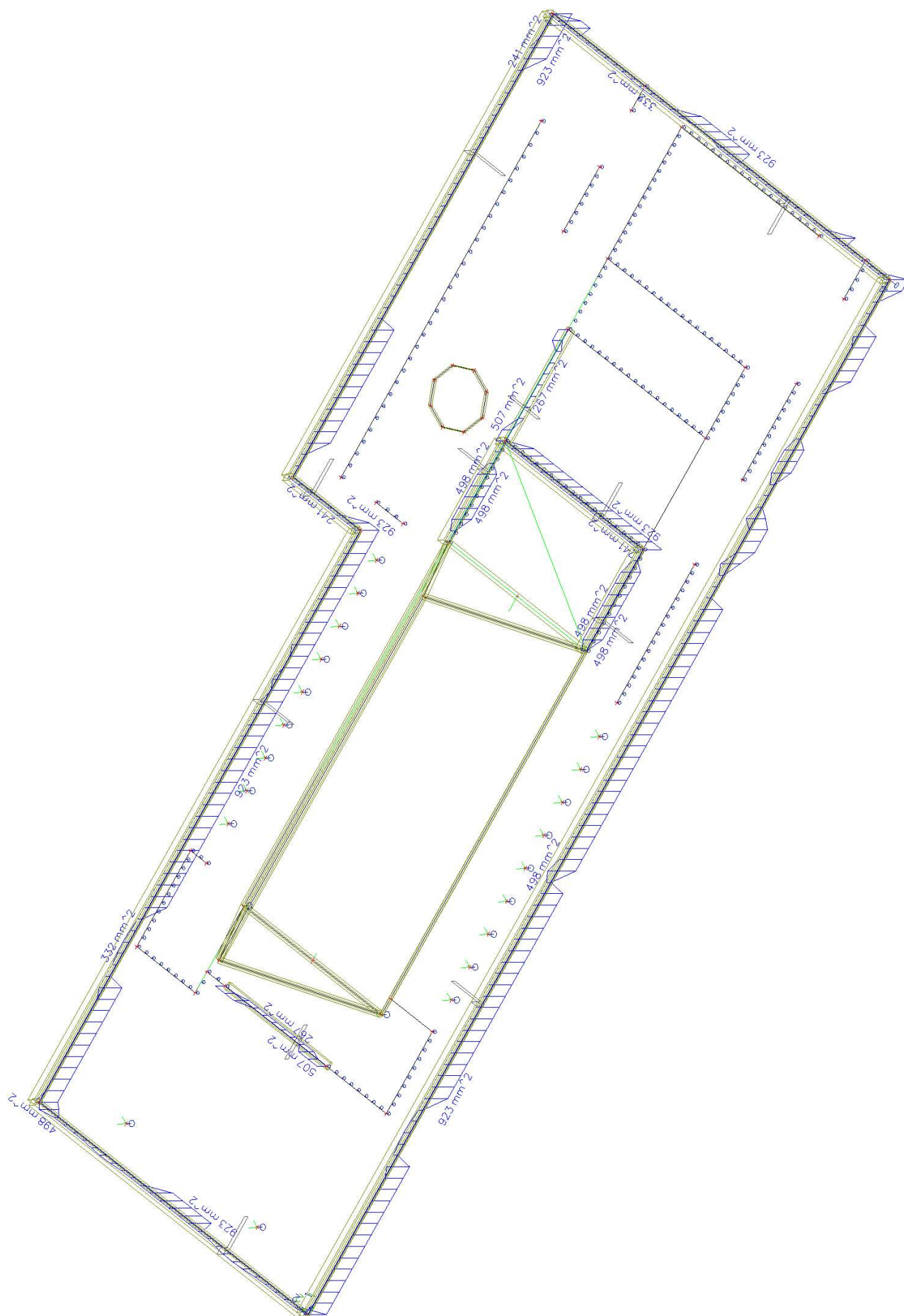
Výběr : Vše

Zatěžovací stavy : Vlastní

Dílec	css	dx [m]	Stav	N [kN]	Vy [kN]	Vz [kN]	Mx [kNm]	My [kNm]	Mz [kNm]
B1	CS1 - Obdélník	11,250	Vlastní	<b>-2,48</b>	-2,78	1,45	0,16	-0,07	-0,21
B1	CS1 - Obdélník	2,812	Vlastní	<b>96,51</b>	0,10	-1,99	-0,53	<b>-6,60</b>	<b>-0,78</b>
B1	CS1 - Obdélník	7,634	Vlastní	61,11	<b>-2,97</b>	-5,60	2,45	-3,43	-0,19
B1	CS1 - Obdélník	3,616	Vlastní	81,25	<b>3,25</b>	7,60	-2,36	-4,73	-0,22
B1	CS1 - Obdélník	1,607	Vlastní	53,14	-1,83	<b>-10,46</b>	1,20	-3,14	0,21
B1	CS1 - Obdélník	9,241	Vlastní	53,47	1,84	<b>8,76</b>	-0,57	-3,23	-0,12
B1	CS1 - Obdélník	4,018	Vlastní	64,59	3,02	8,45	<b>-2,44</b>	-3,18	0,17
B1	CS1 - Obdélník	7,232	Vlastní	47,87	-2,76	-6,05	<b>2,50</b>	-2,16	0,16
B1	CS1 - Obdélník	5,625	Vlastní	20,49	0,00	1,36	0,07	<b>0,00</b>	0,52
B1	CS1 - Obdélník	5,223	Vlastní	25,11	0,62	3,62	-0,69	-0,29	<b>0,52</b>
B2	CS1 - Obdélník	2,810	Vlastní	<b>-37,93</b>	-1,12	-0,79	1,48	<b>2,91</b>	-0,04
B2	CS1 - Obdélník	6,422	Vlastní	<b>68,80</b>	-0,29	-2,27	0,36	<b>-4,36</b>	<b>0,67</b>
B2	CS1 - Obdélník	7,225	Vlastní	61,22	<b>-1,94</b>	<b>4,27</b>	1,43	-2,40	0,03
B2	CS1 - Obdélník	5,619	Vlastní	42,40	<b>2,54</b>	-11,13	<b>-1,05</b>	-2,25	0,12
B2	CS1 - Obdélník	5,218	Vlastní	22,12	2,12	<b>-11,40</b>	-1,02	-0,71	-0,20
B2	CS1 - Obdélník	2,408	Vlastní	-35,31	-1,16	0,69	<b>1,55</b>	2,75	0,09
B2	CS1 - Obdélník	4,415	Vlastní	-13,18	0,53	-8,47	-0,13	1,53	<b>-0,36</b>
B3	CS1 - Obdélník	14,080	Vlastní	<b>-0,58</b>	-0,32	1,13	-0,09	-0,19	-0,10
B3	CS1 - Obdélník	10,236	Vlastní	<b>87,66</b>	-0,61	<b>-13,81</b>	-0,32	<b>-6,09</b>	-0,51
B3	CS1 - Obdélník	1,808	Vlastní	3,01	<b>-1,26</b>	-0,46	<b>1,32</b>	-0,04	0,06
B3	CS1 - Obdélník	0,000	Vlastní	1,56	<b>2,28</b>	-0,68	-0,15	-0,18	-0,33
B3	CS1 - Obdélník	10,236	Vlastní	87,34	0,55	<b>11,13</b>	-0,75	-6,05	<b>-0,56</b>
B3	CS1 - Obdélník	7,025	Vlastní	2,93	0,68	2,24	<b>-1,03</b>	-0,11	-0,01
B3	CS1 - Obdélník	8,229	Vlastní	0,03	-0,03	-0,61	-0,63	<b>1,30</b>	0,13
B3	CS1 - Obdélník	1,005	Vlastní	5,56	0,37	0,33	0,45	-0,29	<b>0,37</b>
B4	CS1 - Obdélník	0,000	Vlastní	<b>-0,57</b>	-0,31	<b>1,45</b>	-0,08	-0,04	-0,03
B4	CS1 - Obdélník	3,190	Vlastní	<b>32,03</b>	-0,78	0,13	0,53	-1,79	0,29
B4	CS1 - Obdélník	16,350	Vlastní	4,83	<b>-5,28</b>	-0,45	0,53	-0,39	<b>-0,94</b>
B4	CS1 - Obdélník	1,994	Vlastní	20,26	<b>1,12</b>	<b>-4,10</b>	-0,68	-0,84	0,14
B4	CS1 - Obdélník	1,595	Vlastní	12,71	0,97	-3,75	<b>-0,73</b>	-0,22	-0,01
B4	CS1 - Obdélník	3,988	Vlastní	26,26	-0,90	1,43	<b>0,91</b>	-1,20	0,00
B4	CS1 - Obdélník	2,791	Vlastní	31,36	-0,04	-1,66	0,07	<b>-1,82</b>	<b>0,37</b>
B4	CS1 - Obdélník	0,798	Vlastní	1,91	0,06	-1,22	-0,41	<b>0,43</b>	-0,11
B5	CS1 - Obdélník	0,000	Vlastní	<b>4,09</b>	<b>4,72</b>	-1,11	-0,57	-0,45	<b>-0,95</b>
B5	CS1 - Obdélník	1,617	Vlastní	<b>19,49</b>	-0,16	1,03	0,06	-1,39	0,31
B5	CS1 - Obdélník	2,021	Vlastní	16,94	<b>-0,59</b>	<b>2,29</b>	0,48	-0,78	0,12
B5	CS1 - Obdélník	0,809	Vlastní	14,64	2,10	<b>-2,35</b>	<b>-0,86</b>	-0,99	0,14
B5	CS1 - Obdélník	2,830	Vlastní	12,33	3,23	1,39	<b>1,31</b>	<b>1,02</b>	<b>0,77</b>
B5	CS1 - Obdélník	1,213	Vlastní	18,79	1,00	-1,09	-0,48	<b>-1,45</b>	0,34
B6	CS1 - Obdélník	18,157	Vlastní	<b>-16,10</b>	0,97	1,05	-1,48	1,67	0,15
B6	CS1 - Obdélník	14,526	Vlastní	<b>78,41</b>	0,47	-2,21	-0,46	<b>-6,91</b>	0,55
B6	CS1 - Obdélník	0,000	Vlastní	6,89	<b>-4,65</b>	-0,32	-0,10	<b>2,01</b>	<b>0,98</b>
B6	CS1 - Obdélník	14,122	Vlastní	66,07	<b>2,27</b>	<b>-12,35</b>	-0,98	-3,51	-0,05
B6	CS1 - Obdélník	15,333	Vlastní	52,02	-1,64	<b>12,61</b>	0,22	-2,53	-0,22
B6	CS1 - Obdélník	17,754	Vlastní	-15,78	1,00	2,41	<b>-1,52</b>	1,71	0,04
B6	CS1 - Obdélník	0,807	Vlastní	2,11	-0,17	-0,51	<b>0,26</b>	0,57	-0,12
B6	CS1 - Obdélník	13,719	Vlastní	48,24	1,18	-9,40	-0,68	-0,95	<b>-0,30</b>
B7	CS1 - Obdélník	0,794	Vlastní	<b>-17,36</b>	-0,07	0,54	-0,57	-0,05	0,09
B7	CS1 - Obdélník	3,575	Vlastní	<b>19,76</b>	<b>-5,93</b>	<b>-14,62</b>	-0,88	-2,28	<b>-1,24</b>
B7	CS1 - Obdélník	1,192	Vlastní	-17,01	<b>0,00</b>	-1,10	-0,36	-0,03	0,12
B7	CS1 - Obdélník	0,000	Vlastní	-0,29	-5,17	<b>37,14</b>	<b>-2,53</b>	<b>-8,95</b>	<b>1,82</b>
B7	CS1 - Obdélník	2,781	Vlastní	-1,52	-1,02	-3,76	<b>0,02</b>	-0,04	0,03
B7	CS1 - Obdélník	1,589	Vlastní	-14,86	-0,11	-1,59	-0,21	<b>-0,03</b>	0,14
B8	CS1 - Obdélník	2,057	Vlastní	<b>10,09</b>	-0,02	-0,43	-0,43	-0,03	0,18
B8	CS1 - Obdélník	5,760	Vlastní	<b>27,41</b>	<b>-14,87</b>	<b>-7,70</b>	1,36	<b>-1,41</b>	<b>-2,58</b>
B8	CS1 - Obdélník	0,000	Vlastní	10,85	<b>10,49</b>	-6,65	<b>-2,29</b>	<b>1,32</b>	-1,99
B8	CS1 - Obdélník	4,114	Vlastní	11,63	-0,27	<b>0,37</b>	0,76	-0,03	0,18
B8	CS1 - Obdélník	5,349	Vlastní	20,22	-6,55	-3,29	<b>1,51</b>	-0,04	0,32
B8	CS1 - Obdélník	0,823	Vlastní	10,92	1,14	-1,26	-1,53	-0,03	<b>0,41</b>
B9	CS1 - Obdélník	2,781	Vlastní	<b>-13,67</b>	<b>-0,54</b>	0,29	1,17	-0,04	0,12
B9	CS1 - Obdélník	0,000	Vlastní	<b>34,07</b>	<b>13,02</b>	<b>26,97</b>	-0,68	-4,74	<b>-1,95</b>
B9	CS1 - Obdélník	3,575	Vlastní	1,37	4,21	<b>-35,42</b>	<b>3,33</b>	<b>-8,91</b>	<b>1,62</b>
B9	CS1 - Obdélník	0,397	Vlastní	14,47	6,03	13,14	<b>-0,83</b>	-0,13	0,35
B9	CS1 - Obdélník	1,986	Vlastní	-12,16	-0,21	1,32	0,44	<b>-0,03</b>	0,28
B10	CS2 - Obdélník	0,000	Vlastní	<b>-33,63</b>	-0,12	<b>3,12</b>	-0,01	<b>-0,49</b>	0,00
B10	CS2 - Obdélník	1,932	Vlastní	<b>30,70</b>	0,12	0,09	-0,03	<b>0,25</b>	0,04
B10	CS2 - Obdélník	4,250	Vlastní	-31,64	<b>-0,98</b>	<b>-2,70</b>	<b>-0,11</b>	-0,45	<b>-0,06</b>
B10	CS2 - Obdélník	1,159	Vlastní	20,32	<b>0,32</b>	0,65	-0,01	0,18	0,02
B10	CS2 - Obdélník	0,773	Vlastní	8,27	0,30	1,06	<b>0,00</b>	0,09	0,01
B10	CS2 - Obdélník	2,705	Vlastní	26,71	-0,28	-0,38	-0,06	0,23	<b>0,04</b>
B11	CS2 - Obdélník	0,000	Vlastní	<b>-36,13</b>	<b>1,57</b>	<b>2,85</b>	<b>0,09</b>	<b>-0,51</b>	<b>-0,07</b>

Dílec	css	dx [m]	Stav	N [kN]	Vy [kN]	Vz [kN]	Mx [kNm]	My [kNm]	Mz [kNm]
B11	CS2 - Obdélník	1,965	Vlastní	<b>22,11</b>	0,20	0,01	0,02	<b>0,21</b>	-0,02
B11	CS2 - Obdélník	3,930	Vlastní	-24,61	<b>-0,45</b>	<b>-2,16</b>	0,00	-0,35	-0,03
B11	CS2 - Obdélník	0,786	Vlastní	3,02	0,14	0,96	<b>-0,02</b>	0,06	0,03
B11	CS2 - Obdélník	0,393	Vlastní	-14,54	0,63	1,73	0,02	-0,06	<b>0,13</b>

## 16. Návrh As EN 1992-1-1; As nutná celková





## 17. Návrh As EN 1992-1-1

Lineární výpočet, Extrém : Dílec, Žebro / integrační pás

Výběr : Vše

Kombinace : CO1

### Navržená výztuž při horním povrchu pro vybrané pruty

Dílec	$d_x$ [m]	Stav	$N_d$ [kN]	$M_{yd}$ [kNm]	$x_u$ [mm]	$d$ [mm]	$A_{s,req}$ [mm <sup>2</sup> ]	Výztuž[ks]	W/E
B1	10,848	CO1/1	-4,00	0,85			498	2x20,0(628)	2
B2	15,654	CO1/2	0,24	-0,04			498	2x20,0(628)	2
B3	10,236	CO1/3	19,96	-74,70	15	510	332	2x20,0(628)	
B4	1,196	CO1/1	19,41	2,27			241	1x20,0(314)	2
B5	1,213	CO1/3	11,76	-17,23	7	510	241	1x20,0(314)	148
B6	14,526	CO1/3	28,54	-73,52	14	510	332	2x20,0(628)	
B7	1,192	CO1/1	-79,38	0,68			498	2x20,0(628)	2
B8	0,823	CO1/1	56,41	0,94			241	1x20,0(314)	2
B9	1,192	CO1/1	-32,19	1,32			498	2x20,0(628)	2
B10	0,773	CO1/1	28,89	2,46	0	280	507	2x20,0(628)	65
B11	0,000	CO1/3	-36,01	-45,59	52	280	507	2x20,0(628)	65

Vysvětlivky symbolů	
$N_d$	Návrhová normálová síla
$M_{yd}$	Návrhový ohybový moment $M_{yd}$
$x_u$	Výška tlačené oblasti

Vysvětlivky symbolů	
$d$	Učinná výška průřezu
$A_{s,req}$	Nutná průřezová plocha výztuže
W/E	Chybová hlášení a upozornění vzniklá při výpočtu

### Navržená výztuž při spodní povrchu pro vybrané pruty

Dílec	$d_x$ [m]	Stav	$N_d$ [kN]	$M_{yd}$ [kNm]	$x_u$ [mm]	$d$ [mm]	$A_{s,req}$ [mm <sup>2</sup> ]	Výztuž[ks]	W/E
B1	4,821	CO1/2	36,59	-11,68	0	510	923	3x20,0(942)	66
B2	7,626	CO1/1	87,25	-20,04	0	510	923	3x20,0(942)	66
B3	6,624	CO1/1	6,40	-1,41	0	510	923	3x20,0(942)	66
B4	1,595	CO1/1	21,97	-4,83	0	510	923	3x20,0(942)	66
B5	2,426	CO1/1	30,78	-4,18	0	510	923	3x20,0(942)	66
B6	8,474	CO1/1	32,98	-1,18	0	510	923	3x20,0(942)	66
B7	0,397	CO1/1	-101,91	-15,21	0	510	498	2x20,0(628)	66
B8	0,000	CO1/1	56,88	-0,32	0	510	923	3x20,0(942)	66
B9	1,986	CO1/3	-71,02	3,14	0	510	498	2x20,0(628)	66
B10	1,932	CO1/3	56,73	23,33	7	280	267	1x20,0(314)	147
B11	1,965	CO1/3	11,54	20,31	8	280	267	1x20,0(314)	147

Vysvětlivky symbolů	
$N_d$	Návrhová normálová síla
$M_{yd}$	Návrhový ohybový moment $M_{yd}$
$x_u$	Výška tlačené oblasti

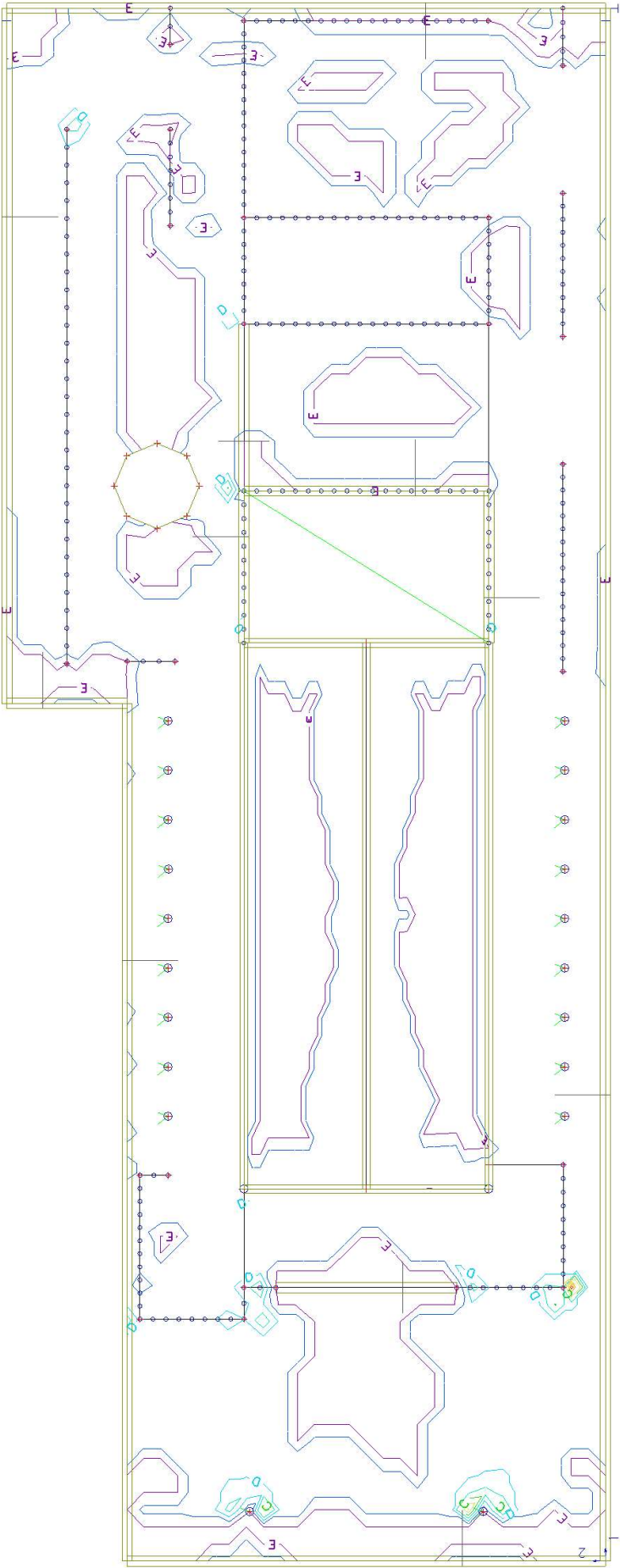
Vysvětlivky symbolů	
$d$	Učinná výška průřezu
$A_{s,req}$	Nutná průřezová plocha výztuže
W/E	Chybová hlášení a upozornění vzniklá při výpočtu

### Vysvětlivky k varování a k chybám

2	Plocha podélné výztuže byla navržena z minimálního stupně vyztužení.
65	Vzdálenost vložek v horní řadě je příliš velká.
66	Vzdálenost vložek v dolní řadě je příliš velká.
147	Plocha dolní podélné výztuže byla navržena z minimálního stupně vyztužení.
148	Plocha horní podélné výztuže byla navržena z minimálního stupně vyztužení.



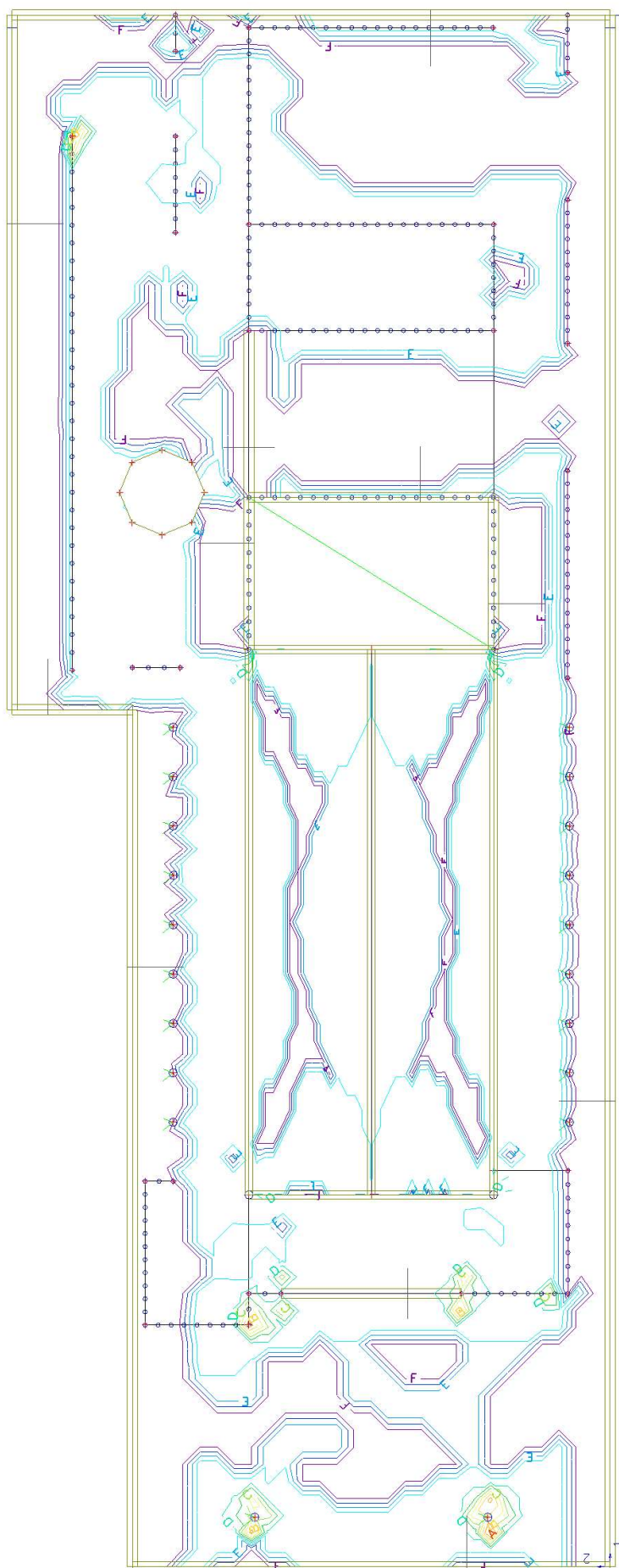
18. Plochy - návrh - nutné plochy; As2+



As2+ [mm<sup>2</sup>/m]  
A 1200  
B 900  
C 600  
D 300  
E 0



## 19. Plochy - návrh - nutné plochy; As1+

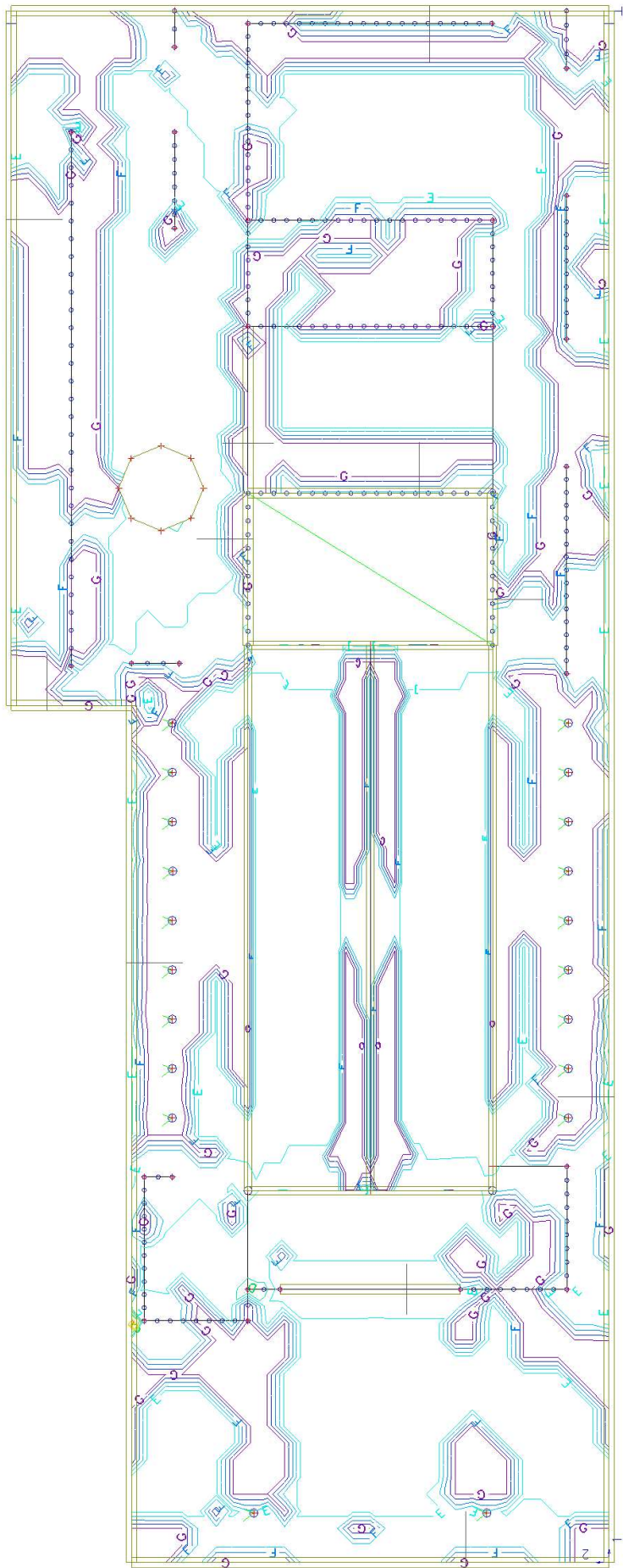


As1+ [mm<sup>2</sup>/m]

A	700
B	560
C	420
D	280
E	140
F	-0



20. Plochy - návrh - nutné plochy; As2-

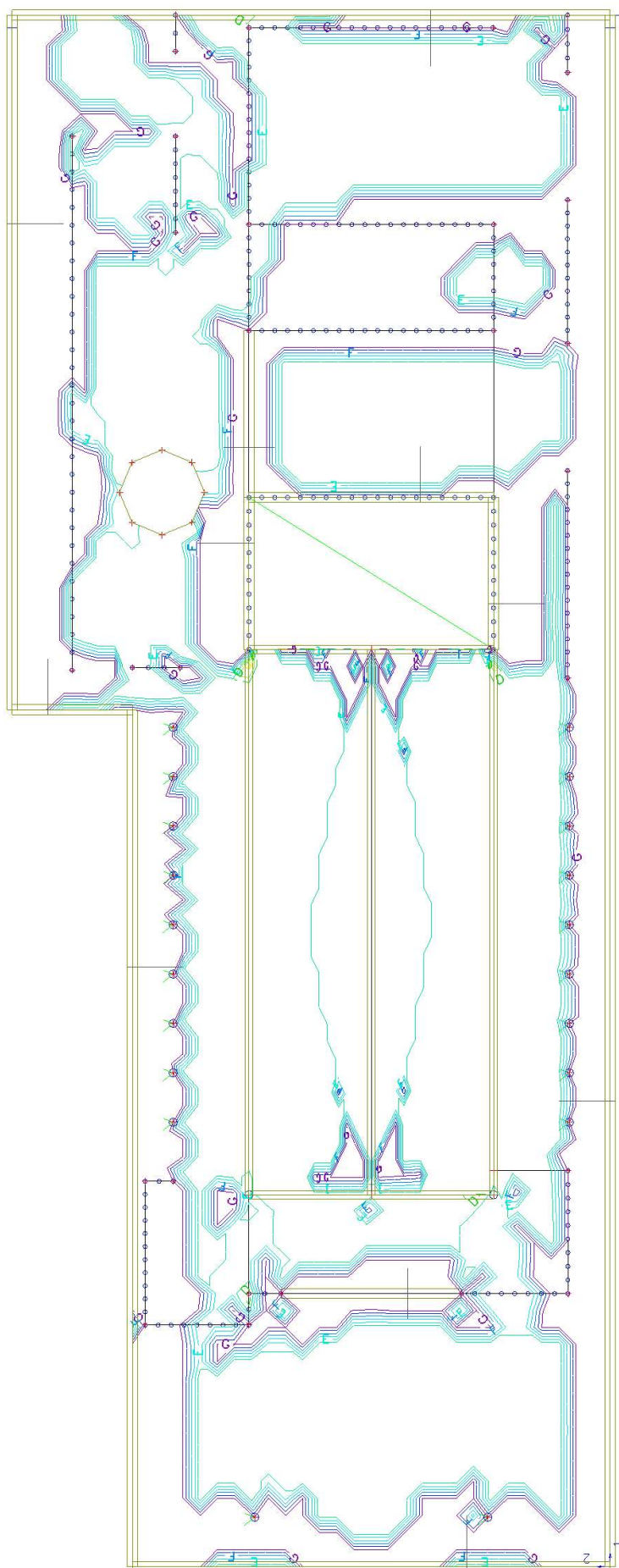


As2- [mm^2/m]

A	720
B	600
C	480
D	360
E	240
F	120
G	0



## 21. Plochy - návrh - nutné plochy; As1-

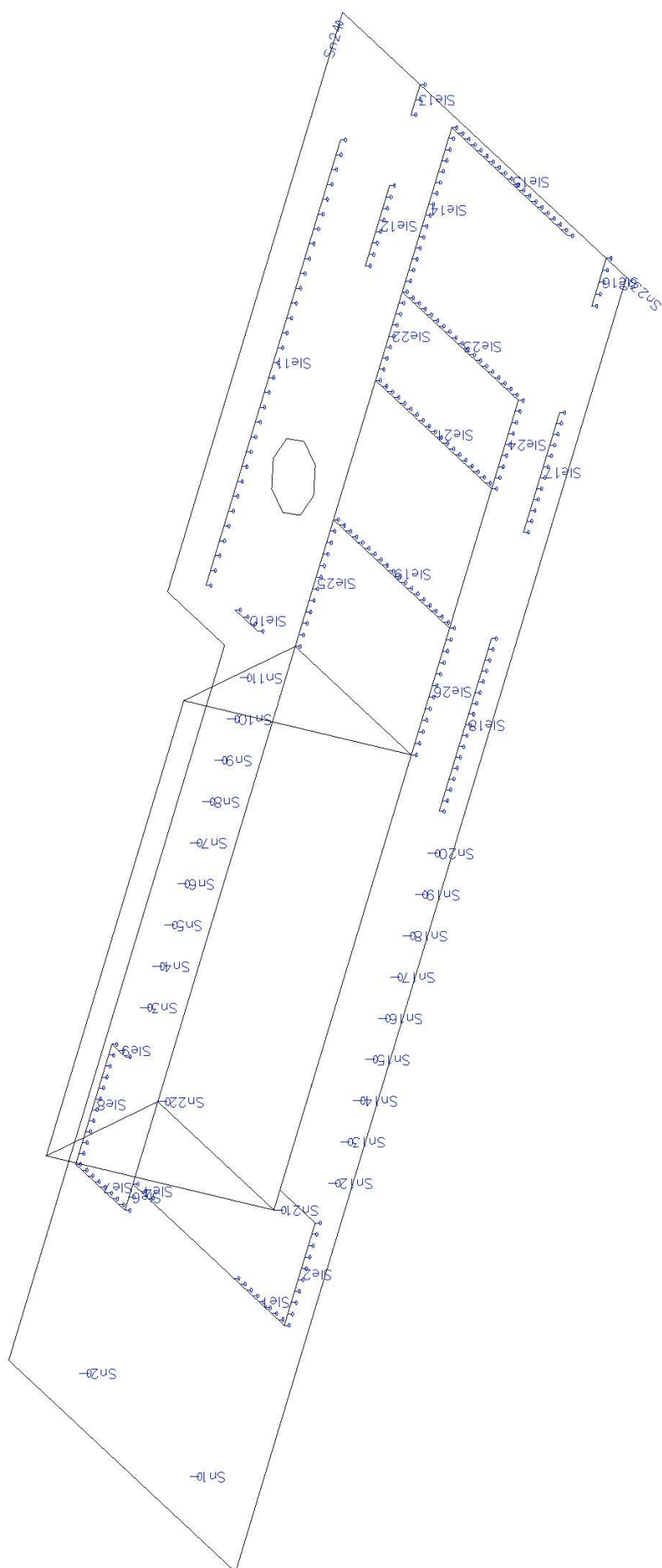


As1- [mm<sup>2</sup>/m]

A	540
B	450
C	360
D	270
E	180
F	90
G	-0



## 22. Schéma podpor -označení



## 23. Reakce

Lineární výpočet, Extrém : Uzel

Výběr : Vše

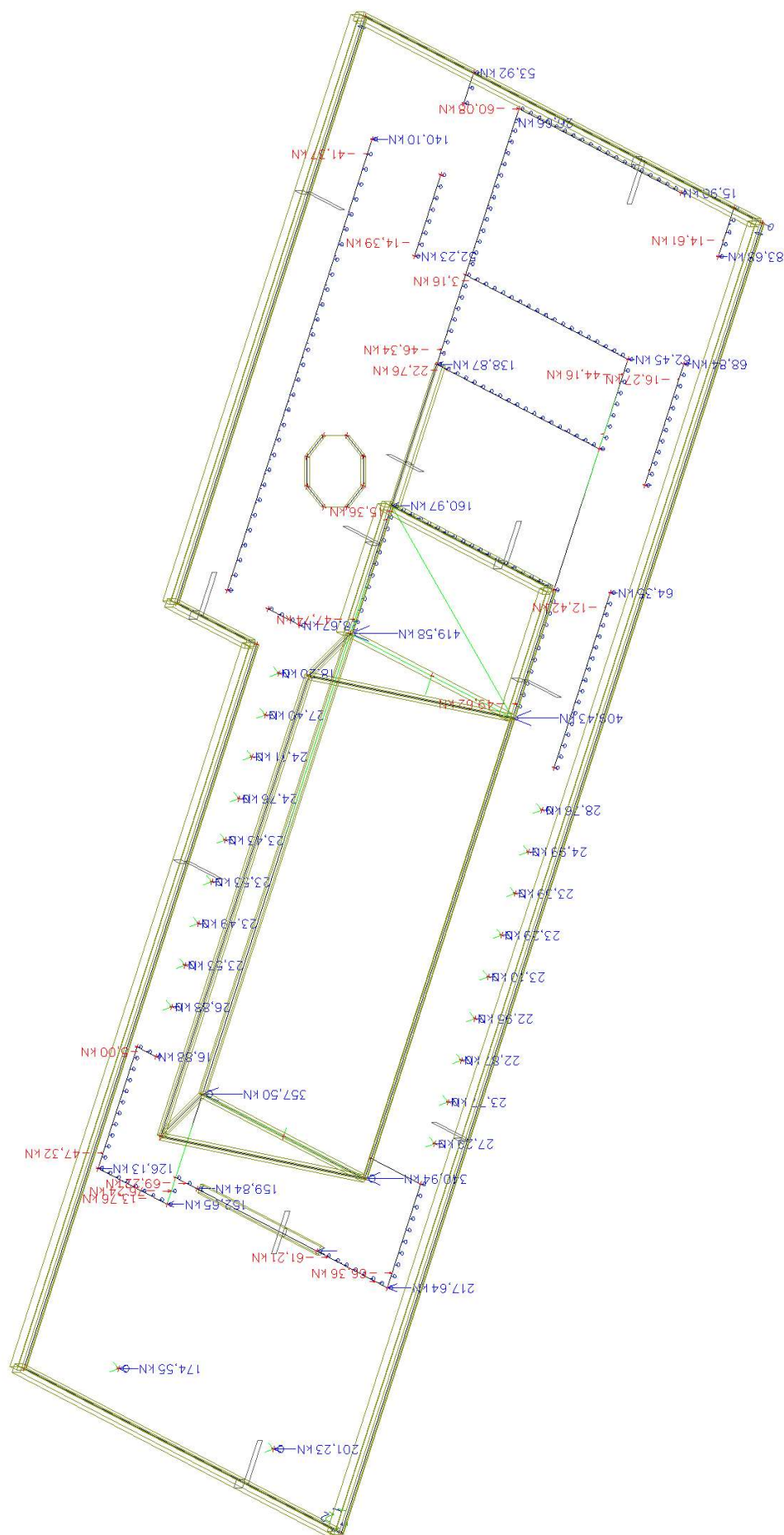
Kombinace : CO1

Podpora	Stav	dx [m]	Rx [kN]	Ry [kN]	Rz [kN]	Mx [kNm]	My [kNm]	Mz [kNm]
Sn1/N27	CO1/4		<b>0,00</b>	<b>0,00</b>	239,59	<b>0,00</b>	<b>0,00</b>	<b>0,00</b>
Sn1/N27	CO1/1		0,00	0,00	<b>177,47</b>	0,00	0,00	0,00
Sn1/N27	CO1/3		0,00	0,00	<b>264,53</b>	0,00	0,00	0,00
Sn2/N26	CO1/4		<b>0,00</b>	<b>0,00</b>	207,84	<b>0,00</b>	<b>0,00</b>	<b>0,00</b>
Sn2/N26	CO1/1		0,00	0,00	<b>153,96</b>	0,00	0,00	0,00
Sn2/N26	CO1/3		0,00	0,00	<b>229,46</b>	0,00	0,00	0,00
Sn3/N37	CO1/4		<b>0,00</b>	<b>0,00</b>	32,50	<b>0,00</b>	<b>0,00</b>	<b>0,00</b>
Sn3/N37	CO1/1		0,00	0,00	<b>24,07</b>	0,00	0,00	0,00
Sn3/N37	CO1/3		0,00	0,00	<b>35,44</b>	0,00	0,00	0,00
Sn4/N38	CO1/4		<b>0,00</b>	<b>0,00</b>	27,95	<b>0,00</b>	<b>0,00</b>	<b>0,00</b>
Sn4/N38	CO1/1		0,00	0,00	<b>20,70</b>	0,00	0,00	0,00
Sn4/N38	CO1/3		0,00	0,00	<b>30,91</b>	0,00	0,00	0,00
Sn5/N39	CO1/4		<b>0,00</b>	<b>0,00</b>	27,76	<b>0,00</b>	<b>0,00</b>	<b>0,00</b>
Sn5/N39	CO1/1		0,00	0,00	<b>20,56</b>	0,00	0,00	0,00
Sn5/N39	CO1/3		0,00	0,00	<b>30,83</b>	0,00	0,00	0,00
Sn6/N40	CO1/4		<b>0,00</b>	<b>0,00</b>	27,80	<b>0,00</b>	<b>0,00</b>	<b>0,00</b>
Sn6/N40	CO1/1		0,00	0,00	<b>20,59</b>	0,00	0,00	0,00
Sn6/N40	CO1/3		0,00	0,00	<b>30,89</b>	0,00	0,00	0,00
Sn7/N41	CO1/4		<b>0,00</b>	<b>0,00</b>	27,64	<b>0,00</b>	<b>0,00</b>	<b>0,00</b>
Sn7/N41	CO1/1		0,00	0,00	<b>20,48</b>	0,00	0,00	0,00
Sn7/N41	CO1/3		0,00	0,00	<b>30,75</b>	0,00	0,00	0,00
Sn8/N42	CO1/4		<b>0,00</b>	<b>0,00</b>	29,36	<b>0,00</b>	<b>0,00</b>	<b>0,00</b>
Sn8/N42	CO1/1		0,00	0,00	<b>21,75</b>	0,00	0,00	0,00
Sn8/N42	CO1/3		0,00	0,00	<b>32,52</b>	0,00	0,00	0,00
Sn9/N43	CO1/4		<b>0,00</b>	<b>0,00</b>	28,56	<b>0,00</b>	<b>0,00</b>	<b>0,00</b>
Sn9/N43	CO1/1		0,00	0,00	<b>21,16</b>	0,00	0,00	0,00
Sn9/N43	CO1/3		0,00	0,00	<b>31,66</b>	0,00	0,00	0,00
Sn10/N44	CO1/4		<b>0,00</b>	<b>0,00</b>	32,58	<b>0,00</b>	<b>0,00</b>	<b>0,00</b>
Sn10/N44	CO1/1		0,00	0,00	<b>24,13</b>	0,00	0,00	0,00
Sn10/N44	CO1/3		0,00	0,00	<b>36,01</b>	0,00	0,00	0,00
Sn11/N45	CO1/4		<b>0,00</b>	<b>0,00</b>	22,78	<b>0,00</b>	<b>0,00</b>	<b>0,00</b>
Sn11/N45	CO1/1		0,00	0,00	<b>16,87</b>	0,00	0,00	0,00
Sn11/N45	CO1/3		0,00	0,00	<b>24,17</b>	0,00	0,00	0,00
Sn12/N28	CO1/4		<b>0,00</b>	<b>0,00</b>	33,01	<b>0,00</b>	<b>0,00</b>	<b>0,00</b>
Sn12/N28	CO1/1		0,00	0,00	<b>24,45</b>	0,00	0,00	0,00
Sn12/N28	CO1/3		0,00	0,00	<b>35,99</b>	0,00	0,00	0,00
Sn13/N29	CO1/4		<b>0,00</b>	<b>0,00</b>	28,31	<b>0,00</b>	<b>0,00</b>	<b>0,00</b>
Sn13/N29	CO1/1		0,00	0,00	<b>20,97</b>	0,00	0,00	0,00
Sn13/N29	CO1/3		0,00	0,00	<b>31,25</b>	0,00	0,00	0,00
Sn14/N30	CO1/4		<b>0,00</b>	<b>0,00</b>	27,04	<b>0,00</b>	<b>0,00</b>	<b>0,00</b>
Sn14/N30	CO1/1		0,00	0,00	<b>20,03</b>	0,00	0,00	0,00
Sn14/N30	CO1/3		0,00	0,00	<b>30,03</b>	0,00	0,00	0,00
Sn15/N31	CO1/4		<b>0,00</b>	<b>0,00</b>	27,08	<b>0,00</b>	<b>0,00</b>	<b>0,00</b>
Sn15/N31	CO1/1		0,00	0,00	<b>20,06</b>	0,00	0,00	0,00
Sn15/N31	CO1/3		0,00	0,00	<b>30,11</b>	0,00	0,00	0,00
Sn16/N32	CO1/4		<b>0,00</b>	<b>0,00</b>	27,25	<b>0,00</b>	<b>0,00</b>	<b>0,00</b>
Sn16/N32	CO1/1		0,00	0,00	<b>20,19</b>	0,00	0,00	0,00
Sn16/N32	CO1/3		0,00	0,00	<b>30,31</b>	0,00	0,00	0,00
Sn17/N33	CO1/4		<b>0,00</b>	<b>0,00</b>	27,47	<b>0,00</b>	<b>0,00</b>	<b>0,00</b>
Sn17/N33	CO1/1		0,00	0,00	<b>20,35</b>	0,00	0,00	0,00
Sn17/N33	CO1/3		0,00	0,00	<b>30,55</b>	0,00	0,00	0,00
Sn18/N34	CO1/4		<b>0,00</b>	<b>0,00</b>	27,61	<b>0,00</b>	<b>0,00</b>	<b>0,00</b>
Sn18/N34	CO1/1		0,00	0,00	<b>20,45</b>	0,00	0,00	0,00
Sn18/N34	CO1/3		0,00	0,00	<b>30,69</b>	0,00	0,00	0,00
Sn19/N35	CO1/4		<b>0,00</b>	<b>0,00</b>	29,65	<b>0,00</b>	<b>0,00</b>	<b>0,00</b>
Sn19/N35	CO1/1		0,00	0,00	<b>21,96</b>	0,00	0,00	0,00
Sn19/N35	CO1/3		0,00	0,00	<b>32,83</b>	0,00	0,00	0,00
Sn20/N36	CO1/4		<b>0,00</b>	<b>0,00</b>	34,54	<b>0,00</b>	<b>0,00</b>	<b>0,00</b>
Sn20/N36	CO1/1		0,00	0,00	<b>25,59</b>	0,00	0,00	0,00
Sn20/N36	CO1/3		0,00	0,00	<b>37,88</b>	0,00	0,00	0,00
Sn21/N9	CO1/4		<b>0,00</b>	<b>0,00</b>	450,82	<b>0,00</b>	<b>0,00</b>	<b>0,00</b>
Sn21/N9	CO1/1		0,00	0,00	<b>333,94</b>	0,00	0,00	0,00
Sn21/N9	CO1/3		0,00	0,00	<b>458,17</b>	0,00	0,00	0,00
Sn22/N11	CO1/4		<b>0,00</b>	<b>0,00</b>	469,70	<b>0,00</b>	<b>0,00</b>	<b>0,00</b>
Sn22/N11	CO1/1		0,00	0,00	<b>347,92</b>	0,00	0,00	0,00
Sn22/N11	CO1/3		0,00	0,00	<b>479,76</b>	0,00	0,00	0,00
Sn23/N8	CO1/3		<b>-0,06</b>	0,00	0,00	0,00	0,00	0,00
Sn23/N8	CO1/1		<b>-0,04</b>	0,00	0,00	0,00	0,00	0,00
Sn23/N8	CO1/2		-0,05	<b>0,00</b>	0,00	0,00	0,00	0,00
Sn23/N8	CO1/4		-0,06	<b>0,00</b>	<b>0,00</b>	<b>0,00</b>	<b>0,00</b>	<b>0,00</b>
Sn24/N5	CO1/1		<b>0,04</b>	0,00	0,00	0,00	0,00	0,00



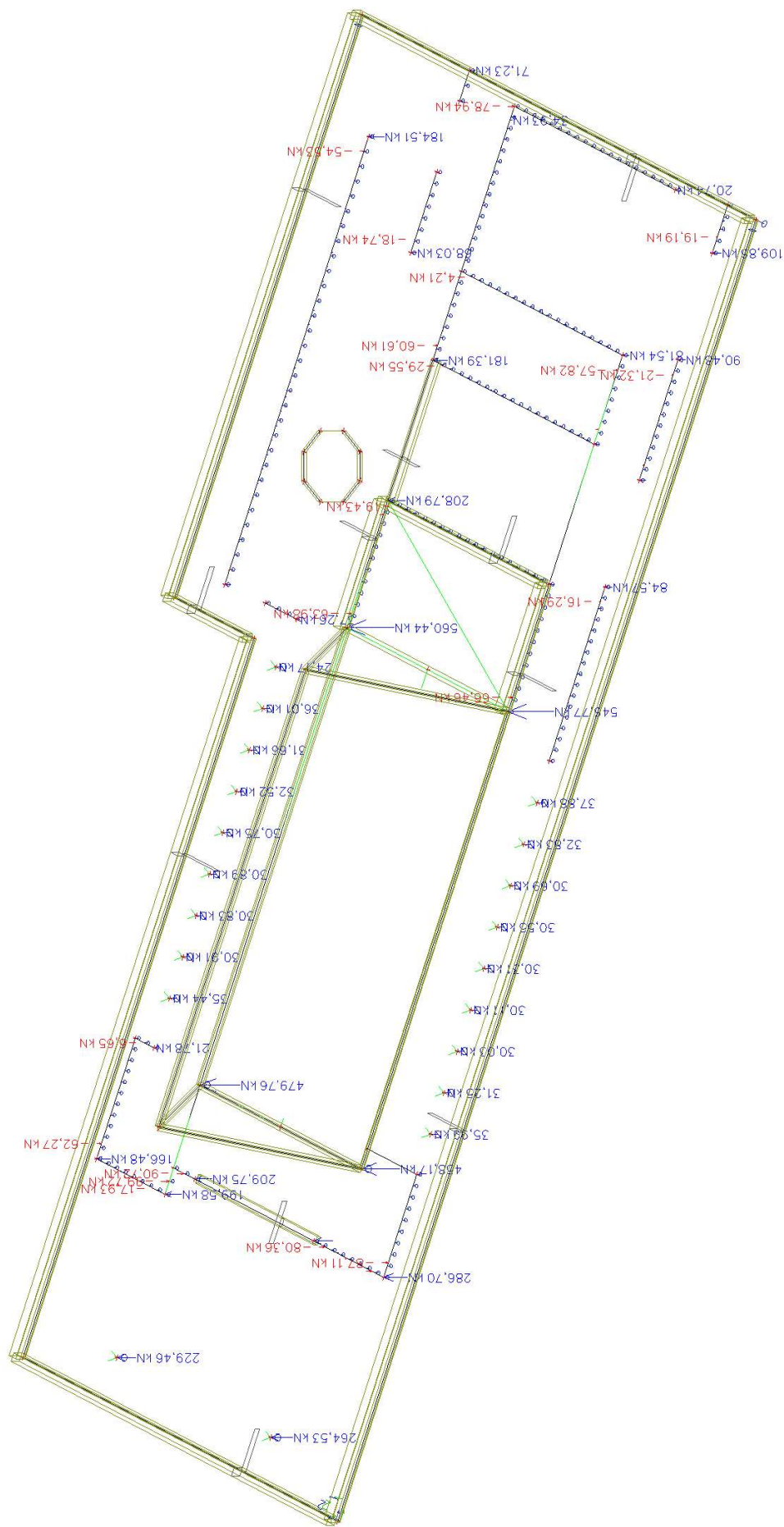
Podpora	Stav	dx [m]	Rx [kN]	Ry [kN]	Rz [kN]	Mx [kNm]	My [kNm]	Mz [kNm]
Sn24/N5	CO1/3		<b>0,06</b>	0,00	0,00	0,00	0,00	0,00
Sn24/N5	CO1/4		0,06	<b>0,00</b>	<b>0,00</b>	<b>0,00</b>	<b>0,00</b>	<b>0,00</b>
Sle1/ES5	CO1/4	0,000	<b>0,00</b>	<b>0,00</b>	211,19	<b>0,00</b>	<b>0,00</b>	<b>0,00</b>
Sle1/ES5	CO1/3	0,417	0,00	0,00	<b>-80,36</b>	0,00	0,00	0,00
Sle1/ES5	CO1/3	2,504	0,00	0,00	<b>286,70</b>	0,00	0,00	0,00
Sle2/ES6	CO1/4	0,000	<b>0,00</b>	<b>0,00</b>	261,79	<b>0,00</b>	<b>0,00</b>	<b>0,00</b>
Sle2/ES6	CO1/3	0,413	0,00	0,00	<b>-87,11</b>	0,00	0,00	0,00
Sle2/ES6	CO1/3	0,000	0,00	0,00	<b>286,70</b>	0,00	0,00	0,00
Sle4/ES3	CO1/4	0,000	<b>0,00</b>	<b>0,00</b>	-12,60	<b>0,00</b>	<b>0,00</b>	<b>0,00</b>
Sle4/ES3	CO1/3	0,377	0,00	0,00	<b>-90,72</b>	0,00	0,00	0,00
Sle4/ES3	CO1/3	0,755	0,00	0,00	<b>209,75</b>	0,00	0,00	0,00
Sle6/ES9	CO1/4	0,000	<b>0,00</b>	<b>0,00</b>	176,80	<b>0,00</b>	<b>0,00</b>	<b>0,00</b>
Sle6/ES9	CO1/3	0,370	0,00	0,00	<b>-99,72</b>	0,00	0,00	0,00
Sle6/ES9	CO1/3	0,000	0,00	0,00	<b>199,58</b>	0,00	0,00	0,00
Sle7/ES2	CO1/4	0,000	<b>0,00</b>	<b>0,00</b>	153,20	<b>0,00</b>	<b>0,00</b>	<b>0,00</b>
Sle7/ES2	CO1/3	2,037	0,00	0,00	<b>-17,93</b>	0,00	0,00	0,00
Sle7/ES2	CO1/3	2,445	0,00	0,00	<b>199,58</b>	0,00	0,00	0,00
Sle8/ES8	CO1/4	0,000	<b>0,00</b>	<b>0,00</b>	153,20	<b>0,00</b>	<b>0,00</b>	<b>0,00</b>
Sle8/ES8	CO1/3	0,423	0,00	0,00	<b>-62,27</b>	0,00	0,00	0,00
Sle8/ES8	CO1/3	0,000	0,00	0,00	<b>166,48</b>	0,00	0,00	0,00
Sle9/ES1	CO1/4	0,000	<b>0,00</b>	<b>0,00</b>	18,24	<b>0,00</b>	<b>0,00</b>	<b>0,00</b>
Sle9/ES1	CO1/3	0,330	0,00	0,00	<b>-6,65</b>	0,00	0,00	0,00
Sle9/ES1	CO1/3	0,000	0,00	0,00	<b>21,78</b>	0,00	0,00	0,00
Sle10/ES10	CO1/4	0,000	<b>0,00</b>	<b>0,00</b>	32,18	<b>0,00</b>	<b>0,00</b>	<b>0,00</b>
Sle10/ES10	CO1/1	0,375	0,00	0,00	<b>0,20</b>	0,00	0,00	0,00
Sle10/ES10	CO1/3	0,000	0,00	0,00	<b>37,26</b>	0,00	0,00	0,00
Sle11/ES11	CO1/4	0,000	<b>0,00</b>	<b>0,00</b>	72,42	<b>0,00</b>	<b>0,00</b>	<b>0,00</b>
Sle11/ES11	CO1/3	12,165	0,00	0,00	<b>-54,53</b>	0,00	0,00	0,00
Sle11/ES11	CO1/3	12,570	0,00	0,00	<b>184,51</b>	0,00	0,00	0,00
Sle12/ES12	CO1/4	0,000	<b>0,00</b>	<b>0,00</b>	59,35	<b>0,00</b>	<b>0,00</b>	<b>0,00</b>
Sle12/ES12	CO1/3	0,378	0,00	0,00	<b>-18,74</b>	0,00	0,00	0,00
Sle12/ES12	CO1/3	0,000	0,00	0,00	<b>68,03</b>	0,00	0,00	0,00
Sle13/ES13	CO1/4	0,000	<b>0,00</b>	<b>0,00</b>	31,52	<b>0,00</b>	<b>0,00</b>	<b>0,00</b>
Sle13/ES13	CO1/1	0,425	0,00	0,00	<b>12,72</b>	0,00	0,00	0,00
Sle13/ES13	CO1/3	0,850	0,00	0,00	<b>71,23</b>	0,00	0,00	0,00
Sle14/ES18	CO1/4	0,000	<b>0,00</b>	<b>0,00</b>	-71,32	<b>0,00</b>	<b>0,00</b>	<b>0,00</b>
Sle14/ES18	CO1/3	0,000	0,00	0,00	<b>-78,94</b>	0,00	0,00	0,00
Sle14/ES18	CO1/3	0,386	0,00	0,00	<b>34,93</b>	0,00	0,00	0,00
Sle15/ES17	CO1/4	0,000	<b>0,00</b>	<b>0,00</b>	18,18	<b>0,00</b>	<b>0,00</b>	<b>0,00</b>
Sle15/ES17	CO1/3	5,745	0,00	0,00	<b>-78,94</b>	0,00	0,00	0,00
Sle15/ES17	CO1/3	0,000	0,00	0,00	<b>20,74</b>	0,00	0,00	0,00
Sle16/ES16	CO1/4	0,000	<b>0,00</b>	<b>0,00</b>	99,00	<b>0,00</b>	<b>0,00</b>	<b>0,00</b>
Sle16/ES16	CO1/3	0,450	0,00	0,00	<b>-19,19</b>	0,00	0,00	0,00
Sle16/ES16	CO1/3	0,000	0,00	0,00	<b>109,86</b>	0,00	0,00	0,00
Sle17/ES15	CO1/4	0,000	<b>0,00</b>	<b>0,00</b>	73,01	<b>0,00</b>	<b>0,00</b>	<b>0,00</b>
Sle17/ES15	CO1/3	2,953	0,00	0,00	<b>-21,32</b>	0,00	0,00	0,00
Sle17/ES15	CO1/3	3,375	0,00	0,00	<b>90,48</b>	0,00	0,00	0,00
Sle18/ES14	CO1/4	0,000	<b>0,00</b>	<b>0,00</b>	23,98	<b>0,00</b>	<b>0,00</b>	<b>0,00</b>
Sle18/ES14	CO1/3	4,469	0,00	0,00	<b>-16,29</b>	0,00	0,00	0,00
Sle18/ES14	CO1/3	4,875	0,00	0,00	<b>84,57</b>	0,00	0,00	0,00
Sle19/O3	CO1/4	5,760	<b>0,00</b>	<b>0,00</b>	56,76	<b>0,00</b>	<b>0,00</b>	<b>0,00</b>
Sle19/O3	CO1/3	0,411	0,00	0,00	<b>-19,43</b>	0,00	0,00	0,00
Sle19/O3	CO1/3	0,000	0,00	0,00	<b>208,79</b>	0,00	0,00	0,00
Sle21/ES21	CO1/4	0,000	<b>0,00</b>	<b>0,00</b>	55,26	<b>0,00</b>	<b>0,00</b>	<b>0,00</b>
Sle21/ES21	CO1/3	5,349	0,00	0,00	<b>-29,55</b>	0,00	0,00	0,00
Sle21/ES21	CO1/3	5,760	0,00	0,00	<b>181,39</b>	0,00	0,00	0,00
Sle22/ES22	CO1/4	0,000	<b>0,00</b>	<b>0,00</b>	160,06	<b>0,00</b>	<b>0,00</b>	<b>0,00</b>
Sle22/ES22	CO1/3	0,416	0,00	0,00	<b>-60,61</b>	0,00	0,00	0,00
Sle22/ES22	CO1/3	0,000	0,00	0,00	<b>181,39</b>	0,00	0,00	0,00
Sle23/ES19	CO1/4	0,000	<b>0,00</b>	<b>0,00</b>	4,27	<b>0,00</b>	<b>0,00</b>	<b>0,00</b>
Sle23/ES19	CO1/3	0,411	0,00	0,00	<b>-4,21</b>	0,00	0,00	0,00
Sle23/ES19	CO1/3	5,760	0,00	0,00	<b>81,54</b>	0,00	0,00	0,00
Sle24/ES20	CO1/4	0,000	<b>0,00</b>	<b>0,00</b>	71,85	<b>0,00</b>	<b>0,00</b>	<b>0,00</b>
Sle24/ES20	CO1/3	0,416	0,00	0,00	<b>-57,82</b>	0,00	0,00	0,00
Sle24/ES20	CO1/3	0,000	0,00	0,00	<b>81,54</b>	0,00	0,00	0,00
Sle25/O3	CO1/4	3,575	<b>0,00</b>	<b>0,00</b>	178,98	<b>0,00</b>	<b>0,00</b>	<b>0,00</b>
Sle25/O3	CO1/3	0,397	0,00	0,00	<b>-63,98</b>	0,00	0,00	0,00
Sle25/O3	CO1/3	0,000	0,00	0,00	<b>560,44</b>	0,00	0,00	0,00
Sle26/O3	CO1/4	3,575	<b>0,00</b>	<b>0,00</b>	525,90	<b>0,00</b>	<b>0,00</b>	<b>0,00</b>
Sle26/O3	CO1/3	3,178	0,00	0,00	<b>-66,46</b>	0,00	0,00	0,00
Sle26/O3	CO1/3	3,575	0,00	0,00	<b>546,77</b>	0,00	0,00	0,00

## 24. Reakce; Rz - MSP

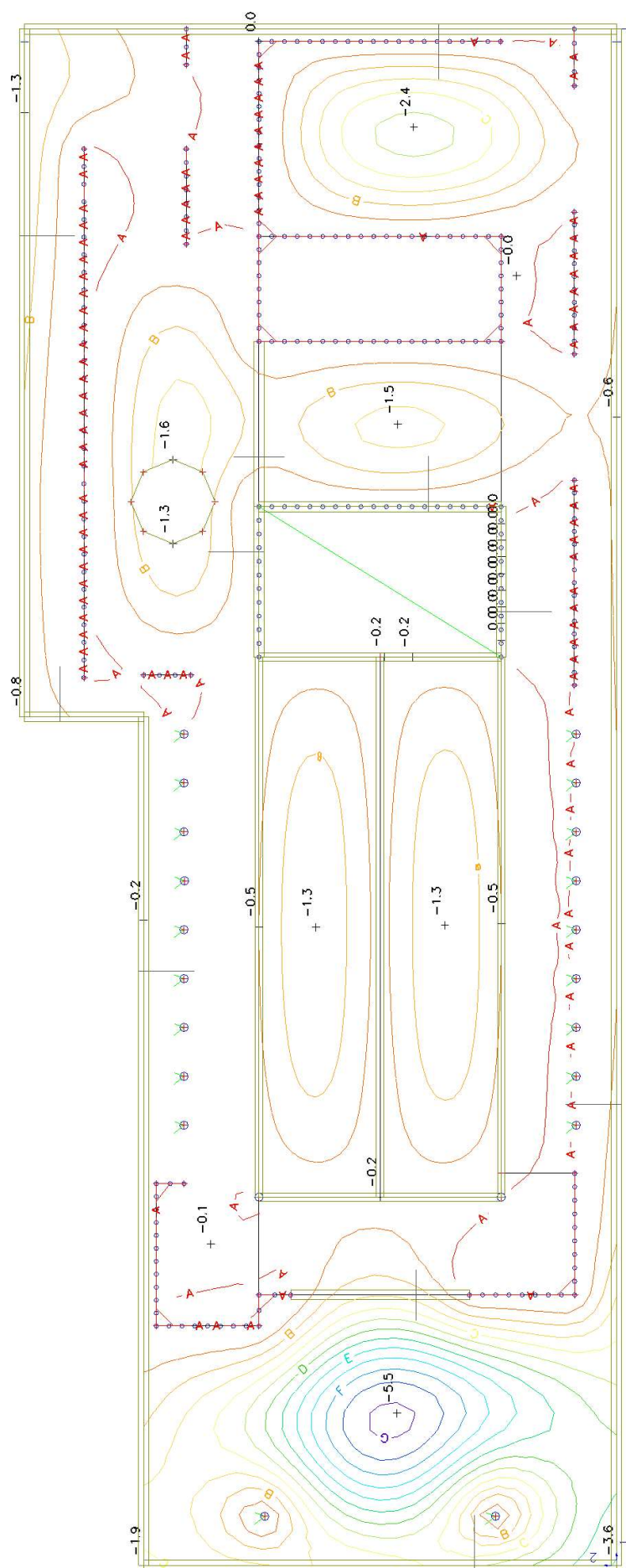




25. Reakce; Rz - MSU



## 26. Plochy - průhyby - nelineární s dotvarováním; Uz



A	0.0
B	-0.9
C	-1.8
D	-2.7
E	-3.6
F	-4.5
G	-5.4

Uz [mm]



Zpracoval:

 Stavební projekt:  
 Stavební dílec:  
 Pozice:  
 Datum: 19.12.2018

## JORDAHL® EXPERT Protlačení - Dimenzování

### 1. Vstupní data

Typ podpory	Roh stěny				
Tloušťka stěny	b	=	240	mm	
Směrodatná délka	c	=	240	mm	
Typ desky	Strop z monolitického betonu				
Tloušťka stropu	h	=	200	mm	
Betonová krycí vrstva	$c_o / c_u$	=	25	mm	/ 25 mm
Účinná výška průřezu	$d_x / d_y$	=	160	mm	/ 160 mm
Maximální rozpon	$l_x / l_y$	=	5000	mm	/ 5000 mm
Třída betonu	C30/37				
Zatížení způsobující protlačení	$V_{Ed}$	=	188,00	kN	
Součinitel přitížení	$\beta$	=	1,20		
Plošné vyztužení	$A_{sx} / A_{sy}$	=	1600	mm <sup>2</sup> /m	/ 1600 mm <sup>2</sup> /m
Procento vyztužení	$\rho_x / \rho_y$	=	1,00	%	/ 1,00 %
		=	(0 mm <sup>2</sup> /m)		/ (0 mm <sup>2</sup> /m)
Třída oceli	B500B				

### 2. Ověření protlačení (ETA-13/0136)

$V_{Ed} / V_{Rd,c}$	=	$1,43 \text{ N/mm}^2 / 0,75 \text{ N/mm}^2 = 1,92 > 1$	JDA nutná
$V_{Ed} / V_{Rd,max}$	=	$1,43 \text{ N/mm}^2 / 1,46 \text{ N/mm}^2 = 0,98 \leq 1$	OK
$\beta \cdot V_{Ed} / V_{Rd,sy}$	=	$225,60 \text{ kN} / 341,48 \text{ kN} = 0,66 \leq 1$	OK
$V_{Ed} / V_{Rd,ca}$	=	$0,74 \text{ N/mm}^2 / 0,75 \text{ N/mm}^2 = 1,00 \leq 1$	OK

### 3. Prvky

10 x JDA-3/10/155-360 (60/120/120/60)

Geometrické požadavky vyplývající z platných předpisů byly splněny ve všech bodech.

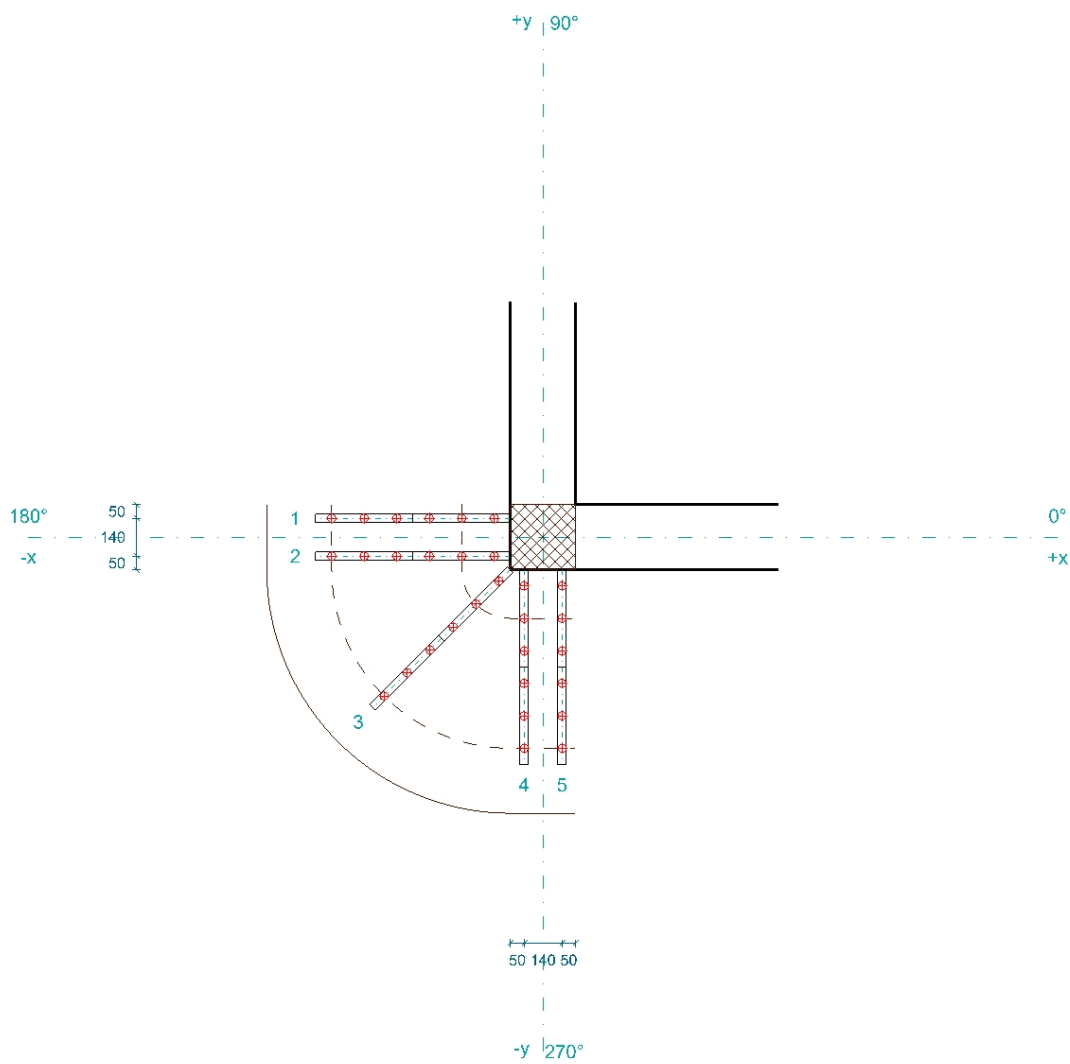
### 4. Pokyny

- Dimenzování vyztužení proti protlačení je založeno na pravidlech pro Evropské technické schválení kotev se dvěma hlavami ETA-13/0136.
- Tento výpočet vychází z charakteristik, specifických pro daný výrobek. V případě jeho náhrady jiným, byť obdobným, výrobkem je nutno znovu provést dimenzování.
- Před zadáním veškerých dat je třeba ověřit jejich soulad s uvedenými předpisy a jejich správnost. JORDAHL neručí za kvalitu vstupních dat, zadaných uživatelem.
- The considered reinforcement is necessary for the punching shear proof. In addition, reinforcement can be required according to static requirements, which must be dimensioned separately.

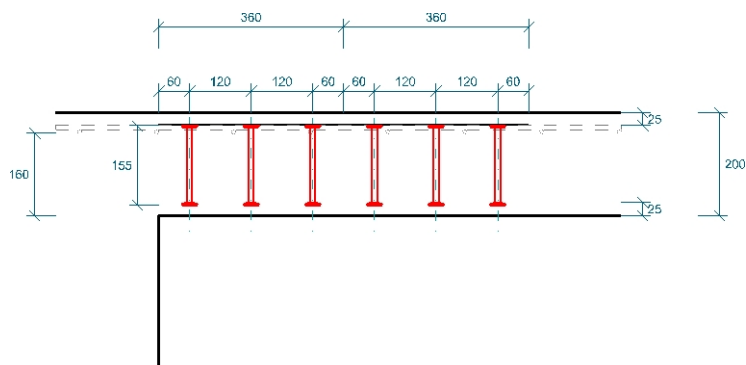
Zpracoval:

Stavební projekt:  
Stavební dílec:  
Pozice:  
Datum: 19.12.2018

## 5. Schéma uspořádání

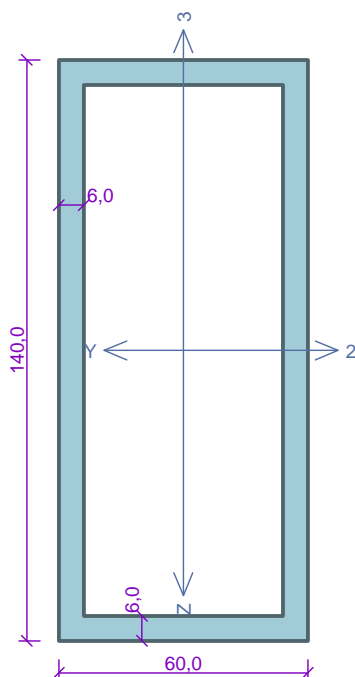


10 x JDA-3/10/155-360 (60/120/120/60)



10 x JDA-3/10/155-360 (60/120/120/60)

## Řez 1



Norma **EN 1993-1-2/Česko**.

Spolehlivost oceli při požáru :  $\gamma_{M,fi} = 1,000$

**Průřez trubka hranatá 60x140**

Průřezová plocha:  $A = 2,256E03 \text{ mm}^2$

Poloha těžiště:

$y_T = 30,0 \text{ mm}$   $z_T = 70,0 \text{ mm}$

Momenty setrvačnosti:

$I_y = 5,331E06 \text{ mm}^4$   $I_z = 1,340E06 \text{ mm}^4$

Průřezové moduly:

$W_{y,1} = -7,616E04 \text{ mm}^3$   $W_{z,1} = 4,468E04 \text{ mm}^3$

$W_{y,2} = 7,616E04 \text{ mm}^3$   $W_{z,2} = -4,468E04 \text{ mm}^3$

Moment tuhosti v prostém kroucení:

$I_k = 3,342E06 \text{ mm}^4$

Výsečový moment setrvačnosti:

$I_\omega = 4,456E08 \text{ mm}^6$

Plastické průřezové moduly:

$W_{pl,y} = 9,739E04 \text{ mm}^3$   $W_{pl,z} = 5,227E04 \text{ mm}^3$

**Materiál: EN 10210-1 : S 235**

**Materiálové charakteristiky:**

Mez kluzu  $f_y$  : 235,0 MPa

Mez pevnosti  $f_u$  : 360,0 MPa

Modul pružnosti  $E$  : 210000 MPa

Modul pružnosti ve smyku  $G$  : 81000 MPa

### Teplotní křivka:

Normová teplotní křivka

### Požární detail:

Nechráněný průřez, exponovaný ze všech stran

### Vnitřní síly v souřadném systému průřezu

Zatěžovací případ s největším využitím

Zat. případ 1

$N = -38,000 \text{ kN}$

$V_z = 0,000 \text{ kN}$

$V_y = 0,000 \text{ kN}$

$T_t = 0,000 \text{ kNm}$

$T_\omega = 0,000 \text{ kNm}$

$M_y = 0,000 \text{ kNm}$

$M_z = 0,000 \text{ kNm}$

$B = 0,000 \text{ kNm}^2$

### Parametry vzpěru

Délka dílce: 3,400 m

$L_z = 3,400 \text{ m}$

$L_y = 3,400 \text{ m}$

$k_z = 0,850$

$k_y = 0,850$

$L_{cr,z} = 2,890 \text{ m}$

$L_{cr,y} = 2,890 \text{ m}$

**Výsledky posouzení - Rozhodující zatěžovací případ:** Zat. případ 1; **Třída průřezu:** 1

**Kritická teplota:** 675,0°C **Doba požární odolnosti:** 15,3 min  $\geq$  15,0 min **Vyhovuje**

**Posouzení v čase  $t = 15,0$  min:**

Teplota plynů: 738,6°C Teplota oceli: 669,9°C

Vnitřní síly:  $N = -38,000 \text{ kN}$ ;  $M_y = 0,000 \text{ kNm}$ ;  $M_z = 0,000 \text{ kNm}$

**Posudek nejneprůzračnější kombinace vzpěrného tlaku a ohybu:**

**Vzpěr Y:** Únosnosti:  $N_R = -87,830 \text{ kN}$

$|0,433 + 0,000 + 0,000| = |0,433| < 1$  **Vyhovuje**

**Vzpěr Z:** Únosnosti:  $N_R = -39,900 \text{ kN}$

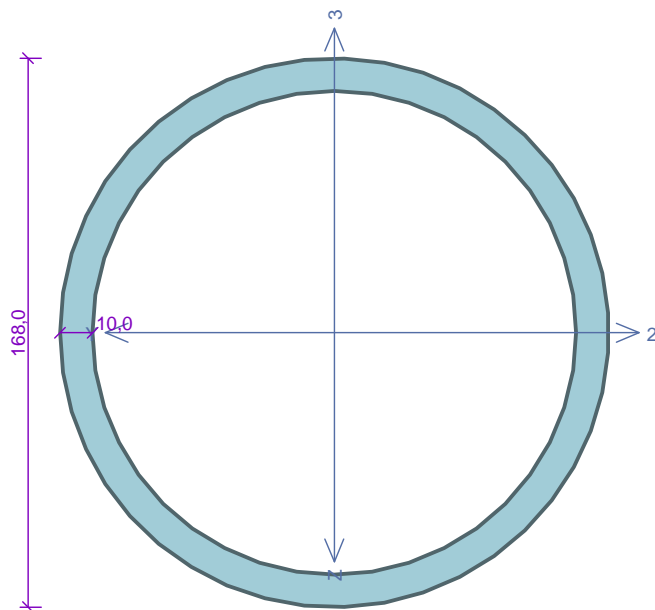
$|0,952 + 0,000 + 0,000| = |0,952| < 1$  **Vyhovuje**

**Průřez vyhovuje**

**VYHOVUJE**

1

## Řez 1 - Kopie



Norma **EN 1993-1-2/Česko**.

Spolehlivost oceli při požáru :  $\gamma_{M,fi} = 1,000$

### Průřez TK 168 x 10

Průřezová plocha:  $A = 4,964E03 \text{ mm}^2$

Poloha těžiště:

$y_T = 84,0 \text{ mm}$   $z_T = 84,0 \text{ mm}$

Momenty setrvačnosti:

$I_y = 1,555E07 \text{ mm}^4$   $I_z = 1,555E07 \text{ mm}^4$

Průřezové moduly:

$W_{y,1} = -1,851E05 \text{ mm}^3$   $W_{z,1} = 1,851E05 \text{ mm}^3$

$W_{y,2} = 1,851E05 \text{ mm}^3$   $W_{z,2} = -1,851E05 \text{ mm}^3$

Moment tuhosti v prostém kroucení:

$I_k = 3,110E07 \text{ mm}^4$

Plastické průřezové moduly:

$W_{pl,y} = 2,500E05 \text{ mm}^3$   $W_{pl,z} = 2,500E05 \text{ mm}^3$

**Materiál: EN 10210-1 : S 235**

**Materiálové charakteristiky:**

Mez kluzu  $f_y$  : 235,0 MPa

Mez pevnosti  $f_u$  : 360,0 MPa

Modul pružnosti  $E$  : 210000 MPa

Modul pružnosti ve smyku  $G$  : 81000 MPa

### Teplotní křivka:

Normová teplotní křivka

### Požární detail:

Nechráněný průřez, exponovaný ze všech stran

### Vnitřní síly v souřadném systému průřezu

Zatěžovací případ s největším využitím

Zat. případ 1

$N = -270,000 \text{ kN}$

$V_z = 0,000 \text{ kN}$

$V_y = 0,000 \text{ kN}$

$T_t = 0,000 \text{ kNm}$

$T_\omega = 0,000 \text{ kNm}$

$M_y = 0,000 \text{ kNm}$

$M_z = 0,000 \text{ kNm}$

$B = 0,000 \text{ kNm}^2$

### Parametry vzpěru

Délka dílce: 3,600 m

$L_z = 3,600 \text{ m}$   $k_z = 1,000$

$L_y = 3,600 \text{ m}$   $k_y = 1,000$

$L_{cr,z} = 3,600 \text{ m}$

$L_{cr,y} = 3,600 \text{ m}$

**Výsledky posouzení - Rozhodující zatěžovací případ:** Zat. případ 1; **Třída průřezu:** 1

**Kritická teplota:** 613,6°C **Doba požární odolnosti:** 16,4 min  $\geq$  15,0 min **Vyhovuje**

**Posouzení v čase  $t = 15,0$  min:**

Teplota plynů: 738,6°C Teplota oceli: 577,7°C

Vnitřní síly:  $N = -270,000 \text{ kN}$ ;  $M_y = 0,000 \text{ kNm}$ ;  $M_z = 0,000 \text{ kNm}$

**Posudek nejneprůzračnější kombinace vzpěrného tlaku a ohybu:**

**Vzpěr Y:** Únosnosti:  $N_R = -341,236 \text{ kN}$

$|0,791 + 0,000 + 0,000| = |0,791| < 1$  **Vyhovuje**

**Vzpěr Z:** Únosnosti:  $N_R = -341,236 \text{ kN}$

$|0,791 + 0,000 + 0,000| = |0,791| < 1$  **Vyhovuje**

**Průřez vyhovuje**

**VYHOVUJE**

## Projekt

Akce : Smuteční síň Tišnov  
Část : posudek zdiva  
Datum : 3.2.2018

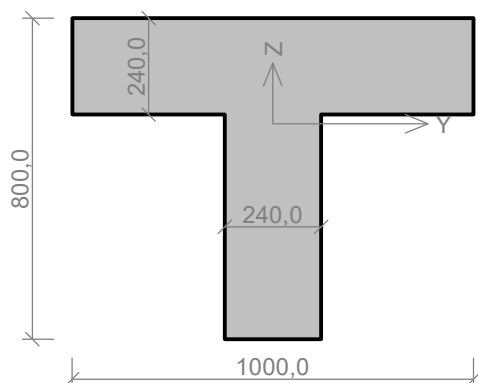
## Norma

Norma EN 1996-1-1/Česko.

## 1 Pilíř 1

### 1.1 Vstupní data

#### Průřez



#### Materiál

Název: Zdivo vápenopiskové P20 - Malta pro tenké spáry

Pevnost v tlaku  $f_k = 8,294 \text{ MPa}$   
 $f_k = K \times f_{b,\alpha} = 0,65 \times 20^{0,85} = 8,294 \text{ MPa}$   
 Pevnost ve smyku  $f_{vko} = 0,4 \text{ MPa}$   
 Pevnost v tahu za ohybu okolo vodorovné osy  $f_{xk1} = 0,2 \text{ MPa}$   
 Pevnost v tahu za ohybu okolo svislé osy  $f_{xk2} = 0,3 \text{ MPa}$   
 Dílčí součinitel materiálu  $\gamma_M = 2$   
 Součinitel dotvarování  $\phi = 1,5$   
 Objemová hmotnost  $\rho = 800$

#### Vnitřní síly

č.	Název zatěžovacího případu	$N_{Ed}$ [kN]	$M_{Edy}$ [kNm]	$M_{Edz}$ [kNm]	$V_{Edz}$ [kN]	$V_{Edy}$ [kN]	Typ
1	Zat. případ 1	-480,00	0,00	0,00	0,00	0,00	Hlava
		-486,07	0,00	0,00	0,00	0,00	Střed
		-492,13	0,00	0,00	0,00	0,00	Pata

#### Vzpěr

Typ výpočtu: Imperfekce a vzpěr řešeny samostatně ve směru os

Vzpěrná délka Y:  $3,000 \times 1,00 = 3,000 \text{ m}$

Vzpěrná délka Z:  $3,000 \times 1,00 = 3,000 \text{ m}$

## 1.2 Výsledky

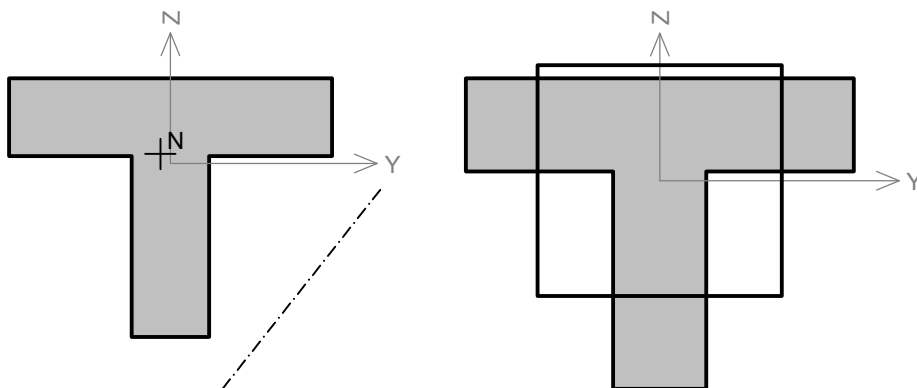
**Podrobné posouzení: Zat. případ 1 - Hlava**

Štíhlost prvku  $h_{ef}/t_{ef} = 5,043 \leq 27 \Rightarrow \text{Vyhovuje}$

#### Tlak

Plocha tlaččeného průřezu:  $A_c = 0,374 \text{ m}^2$

Efektivní průřez



$$e_{y,1} = \max(M_{y,1d} / N_{1d} + h_{ef} / 450; 0,05 \times t) = \max(0 / 480 + 3 / 450; 0,05 \times 0,595) = \max(0,00667; 0,0297) = 0,0297 \text{ m}$$

$$e_{z,1} = \max(M_{z,1d} / N_{1d} + h_{ef} / 450; 0,05 \times b) = \max(0 / 480 + 3 / 450; 0,05 \times 0,629) = \max(0,00667; 0,0315) = 0,0315 \text{ m}$$

$$N_{Rd} = -(A_c \times f_d) = -(0,306 \times 4,147) = -1\,269 \text{ kN}$$

$$N_{Ed} = -480,00 \text{ kN} \leq N_{Rd} = -1\,269,21 \text{ kN}$$

**Mezní stav únosnosti - tlak Vyhovuje**

Využití: 37,8 %

#### Smyk

$$f_{vk} = \min(f_{vko} + 0,4 \times \sigma_d; 0,065 \times f_b) = \min(0,4 + 0,4 \times 1,282; 0,065 \times 20) = \min(0,913; 1,3) = 0,913 \text{ MPa}$$

$$f_{vd} = f_{vk} / \gamma_M = 0,913 / 2 = 0,456 \text{ MPa}$$

$$V_{Rd} = f_{vd} \times A = 0,456 \times 0,374 = 170,9 \text{ kN}$$

$$V_{Ed} = 0,00 \text{ kN} \leq V_{Rd} = 170,88 \text{ kN}$$

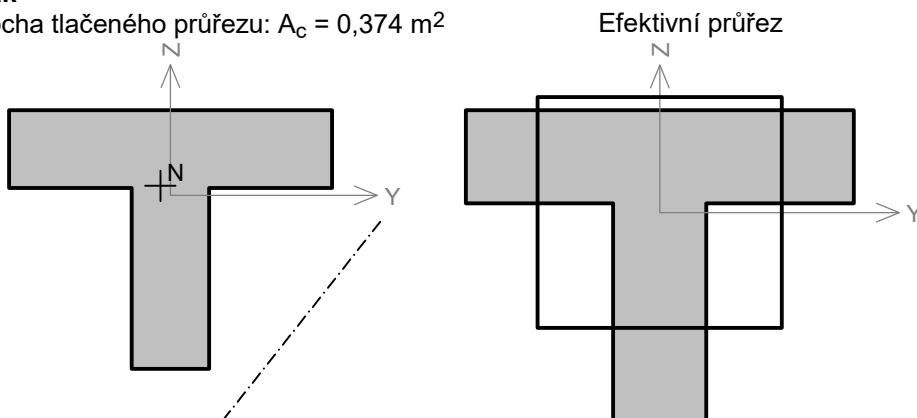
**Mezní stav únosnosti - smyk Vyhovuje**

Využití: 0,0 %

#### Podrobné posouzení: Zat. případ 1 - Střed

##### Tlak

Plocha tlaččeného průřezu:  $A_c = 0,374 \text{ m}^2$



$$\lambda_y = h_{ef} / t_{ef} \times \sqrt{f_k / E} = 3 / 0,595 \times \sqrt{8,294 / 8\,294} = 0,159$$

$$e_{y,mk} = \max(M_{y,md} / N_{md} + h_{ef} / 450; 0,05 \times t) = \max(0 / 486,1 + 3 / 450; 0,05 \times 0,595) = \max(0,00667; 0,0297) = 0,0297 \text{ m}$$

$$u_y = (\lambda_y - 0,063) / (0,73 - 1,17 \times e_{y,mk} / t) = (0,159 - 0,063) / (0,73 - 1,17 \times 0,0297 / 0,595) = 0,144$$

$$\Phi_{my} = e^{(-u_y^2 / 2)} = e^{(-0,144^2 / 2)} = 0,99$$

$$\lambda_z = h_{ef} / t_{ef} \times \sqrt{f_k / E} = 3 / 0,629 \times \sqrt{8,294 / 8\,294} = 0,151$$

$$e_{z,mk} = \max(M_{z,md} / N_{md} + h_{ef} / 450; 0,05 \times b) = \max(0 / 486,1 + 3 / 450; 0,05 \times 0,629) = \max(0,00667; 0,0315) = 0,0315 \text{ m}$$

$$u_z = (\lambda_z - 0,063) / (0,73 - 1,17 \times e_{z,mk} / b) = (0,151 - 0,063) / (0,73 - 1,17 \times 0,0315 / 0,629) = 0,131$$

$$\Phi_{mz} = e^{(-u_z^2 / 2)} = e^{(-0,131^2 / 2)} = 0,991$$

$$\Phi_m = \min(\Phi_{my}; \Phi_{mz}) = \min(0,99; 0,991) = 0,99$$



$$N_{Rd} = -(A_c \times \Phi_m \times f_d) = -(0,306 \times 0,99 \times 4,147) = -1\,256\text{ kN}$$

$$N_{Ed} = -486,07\text{ kN} \leq N_{Rd} = -1\,256,19\text{ kN}$$

**Mezní stav únosnosti - tlak Vyhovuje**

Využití: 38,7 %

#### Smyk

$$f_{vk} = \min(f_{vko} + 0,4 \times \sigma_d; 0,065 \times f_b) = \min(0,4 + 0,4 \times 1,298; 0,065 \times 20) = \min(0,919; 1,3) = 0,919\text{ MPa}$$

$$f_{vd} = f_{vk} / \gamma_M = 0,919 / 2 = 0,46\text{ MPa}$$

$$V_{Rd} = f_{vd} \times A = 0,46 \times 0,374 = 172,1\text{ kN}$$

$$V_{Ed} = 0,00\text{ kN} \leq V_{Rd} = 172,09\text{ kN}$$

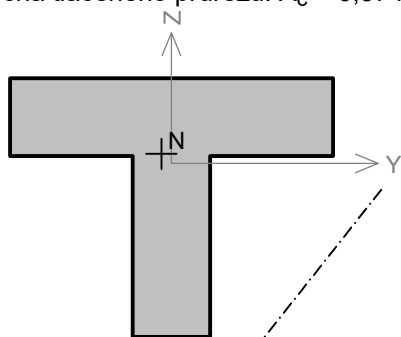
**Mezní stav únosnosti - smyk Vyhovuje**

Využití: 0,0 %

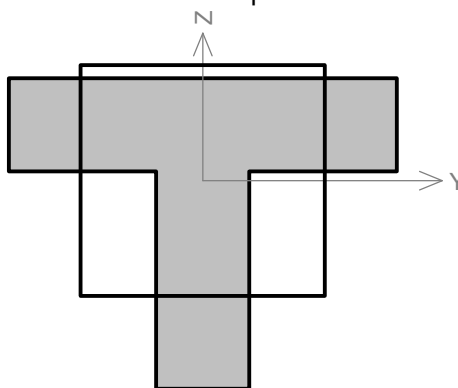
#### Podrobné posouzení: Zat. případ 1 - Pata

##### Tlak

Plocha tlačného průřezu:  $A_c = 0,374\text{ m}^2$



Efektivní průřez



$$e_{y,2} = \max(M_{y,2d} / N_{2d} + h_{ef} / 450; 0,05 \times t) = \max(0 / 492,1 + 3 / 450; 0,05 \times 0,595) = \max(0,00667; 0,0297) = 0,0297\text{ m}$$

$$e_{z,2} = \max(M_{z,2d} / N_{2d} + h_{ef} / 450; 0,05 \times b) = \max(0 / 492,1 + 3 / 450; 0,05 \times 0,629) = \max(0,00667; 0,0315) = 0,0315\text{ m}$$

$$N_{Rd} = -(A_c \times f_d) = -(0,306 \times 4,147) = -1\,269\text{ kN}$$

$$N_{Ed} = -492,13\text{ kN} \leq N_{Rd} = -1\,269,21\text{ kN}$$

**Mezní stav únosnosti - tlak Vyhovuje**

Využití: 38,8 %

#### Smyk

$$f_{vk} = \min(f_{vko} + 0,4 \times \sigma_d; 0,065 \times f_b) = \min(0,4 + 0,4 \times 1,314; 0,065 \times 20) = \min(0,926; 1,3) = 0,926\text{ MPa}$$

$$f_{vd} = f_{vk} / \gamma_M = 0,926 / 2 = 0,463\text{ MPa}$$

$$V_{Rd} = f_{vd} \times A = 0,463 \times 0,374 = 173,3\text{ kN}$$

$$V_{Ed} = 0,00\text{ kN} \leq V_{Rd} = 173,31\text{ kN}$$

**Mezní stav únosnosti - smyk Vyhovuje**

Využití: 0,0 %

#### Mezní stav únosnosti

Štíhlost prvku  $h_{ef}/t_{ef} = 5,043 \leq 27 \Rightarrow$  **Vyhovuje**

Výpočet vzpěru jiného než obdélníkového pilíře je pouze orientační.

č.	Název	N <sub>Ed</sub>	M <sub>Edy</sub>	M <sub>Edz</sub>	V <sub>Edz</sub>	V <sub>Edy</sub>	Využití	Posouzení
		N <sub>Rd</sub>	M <sub>Rdy</sub>	M <sub>Rdz</sub>	V <sub>Rdz</sub>	V <sub>Rdy</sub>		
		[kN]	[kNm]		[kN]			
1	Zat. případ 1 - Hlava	-480,00	0,00	0,00	0,00	0,00	37,8 %	Vyhovuje
		-1269,21	-	-	170,88	0,00		
	Zat. případ 1 - Střed	-486,07	0,00	0,00	0,00	0,00	38,7 %	Vyhovuje
		-1256,19	-	-	172,09	0,00		
	Zat. případ 1 - Pata	-492,13	0,00	0,00	0,00	0,00	38,8 %	Vyhovuje
		-1269,21	-	-	173,31	0,00		

**Mezní stav únosnosti - Vyhovuje - 38,8 %****Celkové posouzení - Průřez Vyhovuje**

Využití průřezu: 38,8 %

## Výpočet úhlové zdi

### Vstupní data

#### Projekt

Akce : Opěrná stěna 1

Datum : 19.12.2018

#### Nastavení

Standardní - EN 1997 - DA2

#### Materiály a normy

Betonové konstrukce : EN 1992-1-1 (EC2)

Součinitele EN 1992-1-1 : standardní

#### Výpočet zdi

Výpočet aktivního tlaku : Coulomb (ČSN 730037)

Výpočet pasivního tlaku : Caquot-Kerisel (ČSN 730037)

Výpočet zemětřesení : Mononobe-Okabe

Tvar zemního klínu : počítat šikmý

Výstupek základu : výstupek uvažovat jako šikmou základovou spáru

Dovolená excentricita : 0,333

Metodika posouzení : výpočet podle EN 1997

Návrhový přístup : 2 - redukce zatížení a odporu

Součinitele redukce zatížení (F)			
Trvalá návrhová situace			
		Nepříznivé	Příznivé
Stálé zatížení :	$\gamma_G =$	1,35 [-]	1,00 [-]
Proměnné zatížení :	$\gamma_Q =$	1,50 [-]	0,00 [-]
Zatížení vodou :	$\gamma_w =$	1,35 [-]	

Součinitele redukce odporu (R)			
Trvalá návrhová situace			
Součinitel redukce odporu na překlopení :	$\gamma_{Rv} =$	1,40 [-]	
Součinitel redukce odporu na posunutí :	$\gamma_{Rh} =$	1,10 [-]	
Součinitel redukce odporu základové půdy :	$\gamma_{Re} =$	1,40 [-]	

Kombinační součinitele pro proměnná zatížení			
Trvalá návrhová situace			
Součinitel kombinační hodnoty :	$\psi_0 =$	0,70 [-]	
Součinitel časté hodnoty :	$\psi_1 =$	0,50 [-]	
Součinitel kvazistálé hodnoty :	$\psi_2 =$	0,30 [-]	

#### Materiál konstrukce

Objemová tíha  $\gamma = 23,00 \text{ kN/m}^3$

Výpočet betonových konstrukcí proveden podle normy EN 1992-1-1 (EC2).

#### Beton : C 25/30

Válcová pevnost v tlaku

$f_{ck} = 25,00 \text{ MPa}$

Pevnost v tahu

$f_{ctm} = 2,60 \text{ MPa}$

#### Ocel podélná : B500

Mez kluzu

$f_{yk} = 500,00 \text{ MPa}$

## Geometrie konstrukce

Číslo	Pořadnice X [m]	Hloubka Z [m]
1	0,00	0,00
2	0,00	1,00
3	0,30	1,00
4	0,30	1,70
5	0,30	2,00
6	-0,90	2,00
7	-0,90	1,70
8	-0,20	1,70
9	-0,20	0,00

Počátek [0,0] je v nejhořejším pravém bodu zdi.

Plocha řezu zdi = 0,91 m<sup>2</sup>.

## Základní parametry zemín

Číslo	Název	Vzorek	$\varphi_{ef}$ [°]	$c_{ef}$ [kPa]	$\gamma$ [kN/m <sup>3</sup> ]	$\gamma_{su}$ [kN/m <sup>3</sup> ]	$\delta$ [°]
1	Třída F7, konzistence tuhá		18,00	10,00	20,00	11,00	6,00
2	zásyp		18,00	2,00	20,00	11,00	6,00

## Parametry zemín pro výpočet tlaku v klidu

Číslo	Název	Vzorek	Typ výpočtu	$\varphi_{ef}$ [°]	$\nu$ [-]	OCR [-]	$K_r$ [-]
1	Třída F7, konzistence tuhá		soudržná	-	0,40	-	-
2	zásyp		nesoudržná	18,00	-	-	-

## Parametry zemín

## Třída F7, konzistence tuhá

Objemová tíha :  $\gamma = 20,00 \text{ kN/m}^3$   
 Napjatost : efektivní  
 Úhel vnitřního tření :  $\varphi_{ef} = 18,00^\circ$   
 Soudržnost zeminy :  $c_{ef} = 10,00 \text{ kPa}$   
 Třecí úhel kce-zemina :  $\delta = 6,00^\circ$   
 Zemina : soudržná  
 Poissonovo číslo :  $\nu = 0,40$   
 Obj.tíha sat.zeminy :  $\gamma_{sat} = 21,00 \text{ kN/m}^3$



## zásyp

Objemová tíha :  $\gamma = 20,00 \text{ kN/m}^3$   
 Napjatost : efektivní  
 Úhel vnitřního tření :  $\varphi_{ef} = 18,00^\circ$   
 Soudržnost zeminy :  $c_{ef} = 2,00 \text{ kPa}$   
 Třecí úhel kce-zemina :  $\delta = 6,00^\circ$   
 Zemina : nesoudržná  
 Obj.tíha sat.zeminy :  $\gamma_{sat} = 21,00 \text{ kN/m}^3$

**Zásyp za konstrukcí**

Přiřazená zemina : zásyp

**Geologický profil a přiřazení zemin**

Číslo	Mocnost vrstvy t [m]	Hloubka z [m]	Přiřazená zemina	Vzorek
1	1,90	0,00 .. 1,90	Třída F7, konzistence tuhá	
2	-	1,90 .. ∞	Třída F7, konzistence tuhá	

**Založení**

Typ založení : zemina - geologický profil

**Tvar terénu**

Terén za konstrukcí je rovný.

**Vliv vody**

Hladina podzemní vody je pod úrovní konstrukce.

**Zadaná plošná přitížení**

Číslo	Přítížení		Působ.	Vel.1 [kN/m <sup>2</sup> ]	Vel.2 [kN/m <sup>2</sup> ]	Poř.x x [m]	Délka l [m]	Hloubka z [m]
	nové	změna						
1	Ano		proměnné	5,00				na terénu

Číslo	Název
1	vozidla

**Odpor na líci konstrukce**

Odpor na líci konstrukce: 1/2 pas., 1/2 v klidu

Zemina na líci konstrukce - zásyp

Třecí úhel kce-zemina

$$\delta = 0,00^\circ$$

Výška zeminy před zdí

$$h = 1,10 \text{ m}$$

Terén před konstrukcí je rovný.

**Zadané síly působící na konstrukci**

Číslo	Síla		Název	Působ.	F <sub>x</sub> [kN/m]	F <sub>z</sub> [kN/m]	M [kNm/m]	x [m]	z [m]
	nová	změna							
1	Ano		Hmotnost plotu	stálé	0,00	12,00	0,00	-0,05	0,00
2	Ano		Vítr na stěnu	proměnné	-3,00	0,00	-3,00	-0,05	0,00

**Nastavení výpočtu fáze**

Návrhová situace : trvalá

Zed' se může přemístit, je počítána na zatížení aktivním tlakem.

**Posouzení čís. 1****Spočtené síly působící na konstrukci**

Název	F <sub>hor</sub> [kN/m]	Působíště z [m]	F <sub>vert</sub> [kN/m]	Působíště x [m]	Koef. překl.	Koef. posun.	Koef. napětí
Tíh.- zed'	0,00	-0,64	20,93	0,78	1,000	1,000	1,350
Odpor na líci	-18,83	-0,40	0,03	0,35	1,000	1,000	1,350
Tíh.- zemní klín	0,00	-1,14	1,24	1,00	1,000	1,000	1,350

Název	$F_{hor}$ [kN/m]	Působíště z [m]	$F_{vert}$ [kN/m]	Působíště x [m]	Koef. překl.	Koef. posun.	Koef. napětí
Aktivní tlak	15,55	-0,61	5,43	1,10	1,350	1,350	1,000
vozidla	4,63	-0,93	1,91	1,06	1,500	1,500	1,500
Hmotnost plotu	0,00	-2,00	12,00	0,85	1,000	1,000	1,350
Vítr na stěnu	3,00	-2,00	0,00	0,85	1,500	1,500	1,500

**Posouzení celé zdi****Posouzení na překlacení**Moment vzdorující  $M_{res} = 27,72$  kNm/mMoment klopící  $M_{ovr} = 25,33$  kNm/m**Zed' na překlacení VYHOVUJE****Posouzení na posunutí**Vodor. síla vzdorující  $H_{res} = 18,63$  kN/mVodor. síla posunující  $H_{act} = 13,61$  kN/m**Zed' na posunutí VYHOVUJE****Celkové posouzení - ZED' VYHOVUJE**

Maximální napětí v základové spáře : 73,11 kPa

**Únosnost základové půdy****Síly působící ve středu základové spáry**

Číslo	Moment [kNm/m]	Norm. síla [kN/m]	Pos. síla [kN/m]	Excentricita [-]	Napětí [kPa]
1	5,63	54,46	1,58	0,086	54,84
2	13,16	44,40	13,61	0,247	73,11

**Normové síly působící ve středu základové spáry (výpočet sedání)**

Číslo	Moment [kNm/m]	Norm. síla [kN/m]	Pos. síla [kN/m]
1	4,56	41,54	4,35

**Posouzení únosnosti základové půdy**

Tvar napětí v základové půdě : obdélník

**Posouzení excentricity**Max. excentricita normálové síly  $e = 0,247$ Maximální dovolená excentricita  $e_{alw} = 0,333$ **Excentricita normálové síly VYHOVUJE****Posouzení únosnosti základové půdy**Únosnost základové půdy  $R = 120,00$  kPaSoučinitel redukce odporu základové půdy  $\gamma_{Rv} = 1,40$ Max. napětí v základové spáře  $\sigma = 73,11$  kPaNávrhová únosnost základové půdy  $R_d = 85,71$  kPa**Únosnost základové půdy VYHOVUJE****Celkové posouzení - únosnost základové půdy VYHOVUJE**

**Dimenzace čís. 1****Posouzení dříku - přední výztuž****Spočtené síly působící na konstrukci**

Název	$F_{hor}$ [kN/m]	Působíště z [m]	$F_{vert}$ [kN/m]	Působíště x [m]	Koef. moment	Koef. norm.sila	Koef. pos.sila
Tíh.- zeď	0,00	-0,66	12,64	0,20	1,350	1,350	1,000
Odpor na líci	-10,55	-0,29	0,00	0,00	1,000	1,000	1,000
Tíh.- zemní klín	0,00	-1,20	6,00	0,35	1,000	1,350	1,000
Tlak v klidu	19,94	-0,57	0,00	0,50	1,350	1,000	1,350
vozidla	5,87	-0,85	0,00	0,50	1,500	0,000	1,500
vozidla	0,00	-1,70	1,50	0,35	0,000	1,500	0,000
Hmotnost plotu	0,00	-1,70	12,00	0,15	1,350	1,350	1,000
Vítr na stěnu	3,00	-1,70	0,00	0,15	1,500	0,000	1,500

**Posouzení dříku - přední výztuž**

Přední výztuž není nutná.

**Posouzení dříku - zadní výztuž****Spočtené síly působící na konstrukci**

Název	$F_{hor}$ [kN/m]	Působíště z [m]	$F_{vert}$ [kN/m]	Působíště x [m]	Koef. moment	Koef. norm.sila	Koef. pos.sila
Tíh.- zeď	0,00	-0,66	12,64	0,20	1,350	1,350	1,000
Odpor na líci	-10,55	-0,29	0,00	0,00	1,000	1,000	1,000
Tíh.- zemní klín	0,00	-1,20	6,00	0,35	1,000	1,350	1,000
Tlak v klidu	19,94	-0,57	0,00	0,50	1,350	1,000	1,350
vozidla	5,87	-0,85	0,00	0,50	1,500	0,000	1,500
vozidla	0,00	-1,70	1,50	0,35	0,000	1,500	0,000
Hmotnost plotu	0,00	-1,70	12,00	0,15	1,350	1,350	1,000
Vítr na stěnu	3,00	-1,70	0,00	0,15	1,500	0,000	1,500

**Posouzení dříku - zadní výztuž**

Posouzení zdi v pracovní spáře 1,70 m od koruny zdi

Vyztužení a rozměry průřezu

4 ks profil 16,0 mm, krytí 30,0 mm

Šířka průřezu = 1,00 m

Výška průřezu = 0,50 m

Stupeň vyztužení  $\rho = 0,17 \% > 0,14 \% = \rho_{min}$

Poloha neutrálné osy  $x = 0,04 \text{ m} < 0,28 \text{ m} = x_{max}$

Posouvající síla na mezi únosnosti  $V_{Rd} = 172,60 \text{ kN} > 29,67 \text{ kN} = V_{Ed}$

Moment na mezi únosnosti  $M_{Rd} = 163,48 \text{ kNm} > 33,71 \text{ kNm} = M_{Ed}$

**Průřez VYHOVUJE.**

**Posouzení dříku - zadní výztuž**

Posouzení zdi v pracovní spáře 1,00 m od koruny zdi

Vyztužení a rozměry průřezu

4 ks profil 16,0 mm, krytí 30,0 mm

Šířka průřezu = 1,00 m

Výška průřezu = 0,20 m

Stupeň vyztužení  $\rho = 0,50 \% > 0,14 \% = \rho_{min}$

Poloha neutrálné osy  $x = 0,04 \text{ m} < 0,10 \text{ m} = x_{max}$

Posouvající síla na mezi únosnosti  $V_{Rd} = 90,02 \text{ kN} > 18,58 \text{ kN} = V_{Ed}$

Moment na mezi únosnosti  $M_{Rd} = 58,58 \text{ kNm} > 14,06 \text{ kNm} = M_{Ed}$

**Průřez VYHOVUJE.**

### Posouzení výstupku

#### Spočtené síly působící na konstrukci

Název	$F_{hor}$ [kN/m]	Působíště z [m]	$F_{vert}$ [kN/m]	Působíště x [m]	Výpočtový koeficient
Tíh.- zed'	0,00	-0,64	20,93	0,78	1,350
Odpor na líci	-18,83	-0,40	0,03	0,35	1,350
Tíh.- zemní klín	0,00	-1,14	1,24	1,00	1,350
Aktivní tlak	15,55	-0,61	5,43	1,10	1,000
vozidla	4,63	-0,93	1,91	1,06	1,500
Hmotnost plotu	0,00	-2,00	12,00	0,85	1,350
Vítr na stěnu	3,00	-2,00	0,00	0,85	1,500

### Posouzení výstupku

Vyztužení a rozměry průřezu

5 ks profil 20,0 mm, krytí 30,0 mm

Šířka průřezu = 1,00 m

Výška průřezu = 0,30 m

Stupeň vyztužení  $\rho = 0,60 \% > 0,14 \% = \rho_{min}$

Poloha neutrálné osy  $x = 0,05 \text{ m} < 0,16 \text{ m} = x_{max}$

Posouvající síla na mezi únosnosti  $V_{Rd} = 144,76 \text{ kN} > 33,79 \text{ kN} = V_{Ed}$

Moment na mezi únosnosti  $M_{Rd} = 163,58 \text{ kNm} > 12,94 \text{ kNm} = M_{Ed}$

**Průřez VYHOVUJE.**



## Posouzení plošného základu

### Vstupní data

#### Projekt

Akce : Opěrná stěna 2

Datum : 19.12.2018

#### Nastavení

Standardní - EN 1997 - DA2

#### Materiály a normy

Betonové konstrukce : EN 1992-1-1 (EC2)

Součinitele EN 1992-1-1 : standardní

#### Sedání

Metoda výpočtu : ČSN 73 1001 (Výpočet pomocí edometrického modulu)

Omezení deformační zóny : procentem Sigma, Or

Koef. omezení deformační zóny : 10,0 [%]

#### Patky

Výpočet pro odvozené podmínky : EC 7-1 (EN 1997-1:2003)

Posouzení tažené patky : standardní postup

Dovolená excentricita : 0,333

Metodika posouzení : výpočet podle EN 1997

Návrhový přístup : 2 - redukce zatížení a odporu

Součinitele redukce zatížení (F)			
Trvalá návrhová situace			
		Nepříznivé	Příznivé
Stálé zatížení :	$\gamma_G =$	1,35 [-]	1,00 [-]

Součinitele redukce odporu (R)			
Trvalá návrhová situace			
Součinitel redukce svislé únosnosti :	$\gamma_{Rvs} =$	1,40 [-]	
Součinitel redukce vodorovné únosnosti :	$\gamma_{Rhs} =$	1,10 [-]	

#### Základní parametry zemín

Číslo	Název	Vzorek	$\varphi_{ef}$ [°]	$c_{ef}$ [kPa]	$\gamma$ [kN/m <sup>3</sup> ]	$\gamma_{su}$ [kN/m <sup>3</sup> ]	$\delta$ [°]
1	Třída F7, konzistence tuhá		18,00	10,00	20,00	11,00	

Pro výpočet tlaku v klidu jsou všechny zeminy zadány jako nesoudržné.

#### Parametry zemín

##### Třída F7, konzistence tuhá

Objemová tíha :  $\gamma = 20,00 \text{ kN/m}^3$

Úhel vnitřního tření :  $\varphi_{ef} = 18,00^\circ$

Soudržnost zeminy :  $c_{ef} = 10,00 \text{ kPa}$

Edometrický modul :  $E_{oed} = 6,00 \text{ MPa}$

Obj.tíha sat.zeminy :  $\gamma_{sat} = 21,00 \text{ kN/m}^3$

#### Založení

##### Typ základu: centrická patka

Hloubka od původního terénu  $h_z = 1,20 \text{ m}$

Hloubka základové spáry  $d = 1,20 \text{ m}$

Tloušťka základu  $t = 0,60 \text{ m}$

Sklon upraveného terénu  $s_1 = 0,00^\circ$   
 Sklon základové spáry  $s_2 = 0,00^\circ$   
 Objemová tíha zeminy nad základem = 20,00 kN/m<sup>3</sup>

### Geometrie konstrukce

#### Typ základu: centrická patka

Délka patky  $x = 1,30$  m  
 Šířka patky  $y = 1,30$  m  
 Šířka sloupu ve směru  $x$   $c_x = 0,40$  m  
 Šířka sloupu ve směru  $y$   $c_y = 0,40$  m  
 Objem patky = 1,01 m<sup>3</sup>

### Materiál konstrukce

Objemová tíha  $\gamma = 23,00$  kN/m<sup>3</sup>  
 Výpočet betonových konstrukcí proveden podle normy EN 1992-1-1 (EC2).

#### Beton : C 20/25

Válcová pevnost v tlaku  $f_{ck} = 20,00$  MPa  
 Pevnost v tahu  $f_{ctm} = 2,20$  MPa  
 Modul pružnosti  $E_{cm} = 30000,00$  MPa


#### Ocel podélná : B500

Mez kluzu  $f_{yk} = 500,00$  MPa

#### Ocel příčná: B500

Mez kluzu  $f_{yk} = 500,00$  MPa

### Geologický profil a přiřazení zemin

Číslo	Mocnost vrstvy t [m]	Hloubka z [m]	Přiřazená zemina	Vzorek
1	-	0,00 .. ∞	Třída F7, konzistence tuhá	

### Zatížení

Číslo	Zatížení		Název	Typ	N [kN]	$M_x$ [kNm]	$M_y$ [kNm]	$H_x$ [kN]	$H_y$ [kN]
	nové	změna							
1	Ano		Zatížení č. 1	Užitné	201,00	0,00	0,00	0,00	0,00
2	Ano		Zatížení č. 2	Návrhové	265,00	0,00	0,00	0,00	0,00

### Celkové nastavení výpočtu

Typ výpočtu : výpočet pro odvozené podmínky

### Nastavení výpočtu fáze

Návrhová situace : trvalá

### Posouzení čís. 1

#### Posouzení zatěžovacích stavů

Název	VI. tíha příznivě	$e_x$ [m]	$e_y$ [m]	$\sigma$ [kPa]	$R_d$ [kPa]	Využití [%]	Vyhovuje
Zatížení č. 2	Ano	0,00	0,00	181,47	265,28	68,41	Ano
Zatížení č. 2	Ne	0,00	0,00	190,10	265,28	71,66	Ano

Výpočet proveden s automatickým výběrem nejnepríznivějších zatěžovacích stavů.

Spočtená vlastní tíha patky  $G = 31,48$  kN  
 Spočtená tíha nadloží  $Z = 24,79$  kN

**Posouzení svislé únosnosti**

Tvar kontaktního napětí : obdélník  
 Nejnepříznivější zatěžovací stav číslo 2. (Zatížení č. 2)

Parametry smykové plochy pod základem:

Hloubka smykové plochy  $z_{sp} = 1,43 \text{ m}$

Dosah smykové plochy  $l_{sp} = 3,63 \text{ m}$

Výpočtová únosnost zákl. půdy  $R_d = 265,28 \text{ kPa}$

Extrémní kontaktní napětí  $\sigma = 190,10 \text{ kPa}$

**Svislá únosnost VYHOVUJE**

**Posouzení excentricity zatížení**

Max. excentricita ve směru délky patky  $e_x = 0,000 < 0,333$

Max. excentricita ve směru šířky patky  $e_y = 0,000 < 0,333$

Max. prostorová excentricita  $e_t = 0,000 < 0,333$

**Excentricita zatížení základu VYHOVUJE**

**Posouzení vodorovné únosnosti**

Nejnepříznivější zatěžovací stav číslo 2. (Zatížení č. 2)

Zemní odpor: klidový

Výpočtová velikost zemního odporu  $S_{pd} = 9,70 \text{ kN}$

Horizontální únosnost základu  $R_{dh} = 114,77 \text{ kN}$

Extrémní horizontální síla  $H = 0,00 \text{ kN}$

**Vodorovná únosnost VYHOVUJE**

**Únosnost základu VYHOVUJE**

**Posouzení čís. 1****Sednutí a natočení základu - vstupní data**

Výpočet proveden s automatickým výběrem nejnepříznivějších zatěžovacích stavů.

Výpočet proveden s uvažováním koeficientu  $\kappa_1$  (vliv hloubky založení).

Napětí v základové spáře uvažováno od upraveného terénu.

Spočtená vlastní tíha patky  $G = 23,32 \text{ kN}$

Spočtená tíha nadloží  $Z = 18,36 \text{ kN}$

Sednutí středu hrany x - 1 = 11,5 mm

Sednutí středu hrany x - 2 = 11,5 mm

Sednutí středu hrany y - 1 = 11,5 mm

Sednutí středu hrany y - 2 = 11,5 mm

Sednutí středu základu = 18,3 mm

Sednutí charakterist. bodu = 13,1 mm

(1-hrana max.tlačená; 2-hrana min.tlačená)

**Sednutí a natočení základu - výsledky****Tuhost základu:**

Spočtený vážený průměrný modul přetvárnosti  $E_{def} = 2,80 \text{ MPa}$

Základ je ve směru délky tuhý ( $k=1053,38$ )

Základ je ve směru šířky tuhý ( $k=1053,38$ )

**Posouzení excentricity zatížení**

Max. excentricita ve směru délky patky  $e_x = 0,000 < 0,333$

Max. excentricita ve směru šířky patky  $e_y = 0,000 < 0,333$

Max. prostorová excentricita  $e_t = 0,000 < 0,333$

**Excentricita zatížení základu VYHOVUJE****Celkové sednutí a natočení základu:**

Sednutí základu = 13,1 mm

Hloubka deformační zóny = 2,70 m

Natočení ve směru x = 0,000 (tan\*1000); (0,0E+00 °)

Natočení ve směru y = 0,000 (tan\*1000); (0,0E+00 °)

## Posouzení plošného základu

### Vstupní data

#### Projekt

Akce : Patka  
Datum : 19.12.2018

#### Nastavení

Standardní - bez redukce

#### Materiály a normy

Betonové konstrukce : EN 1992-1-1 (EC2)  
Součinitele EN 1992-1-1 : standardní

#### Sedání

Metoda výpočtu : ČSN 73 1001 (Výpočet pomocí edometrického modulu)  
Omezení deformační zóny : procentem Sigma, Or  
Koef. omezení deformační zóny : 10,0 [%]

#### Patky

Výpočet pro odvozené podmínky : standardní postup  
Posouzení tažené patky : standardní postup  
Dovolená excentricita : 0,333  
Metodika posouzení : mezní stavy

Součinitele redukce parametrů zemin			
Trvalá návrhová situace			
Součinitel redukce úhlu vnitřního tření :	$\gamma_{m\phi} =$	1,00	[-]
Součinitel redukce soudržnosti :	$\gamma_{mc} =$	1,00	[-]
Součinitel redukce objemové tíhy základu :	$\gamma_{m\gamma} =$	1,00	[-]
Součinitel redukce objemové tíhy nadloží :	$\gamma_{m\gamma} =$	1,00	[-]

Součinitele celkové stability			
Trvalá návrhová situace			
Součinitel redukce svislé únosnosti :	$\gamma_{RV} =$	1,00	[-]
Součinitel redukce zemního odporu :	$\gamma_{mR} =$	1,00	[-]
Součinitel redukce vodorovné únosnosti :	$\gamma_{RH} =$	1,00	[-]

#### Základní parametry zemin

Číslo	Název	Vzorek	$\phi_{ef}$ [°]	$c_{ef}$ [kPa]	$\gamma$ [kN/m <sup>3</sup> ]	$\gamma_{su}$ [kN/m <sup>3</sup> ]	$\delta$ [°]
1	Třída F7, konzistence tuhá		18,00	10,00	20,00	11,00	

Pro výpočet tlaku v klidu jsou všechny zeminy zadány jako nesoudržné.

#### Parametry zemin

##### Třída F7, konzistence tuhá

Objemová tíha :  $\gamma = 20,00$  kN/m<sup>3</sup>  
Úhel vnitřního tření :  $\phi_{ef} = 18,00$  °  
Soudržnost zeminy :  $c_{ef} = 10,00$  kPa  
Edometrický modul :  $E_{oed} = 6,00$  MPa  
Obj.tíha sat.zeminy :  $\gamma_{sat} = 21,00$  kN/m<sup>3</sup>

#### Založení

Typ základu: centrická patka

Hloubka od původního terénu  $h_z = 1,20$  m

Hloubka základové spáry  $d = 1,20$  m

Tloušťka základu  $t = 0,60$  m

Sklon upraveného terénu  $s_1 = 0,00^\circ$

Sklon základové spáry  $s_2 = 0,00^\circ$

Objemová tíha zeminy nad základem = 20,00 kN/m<sup>3</sup>

### Geometrie konstrukce

#### Typ základu: centrická patka

Délka patky  $x = 2,20$  m

Šířka patky  $y = 2,20$  m

Šířka sloupu ve směru  $x$   $c_x = 1,00$  m

Šířka sloupu ve směru  $y$   $c_y = 1,00$  m

Objem patky = 2,90 m<sup>3</sup>

### Materiál konstrukce

Objemová tíha  $\gamma = 23,00$  kN/m<sup>3</sup>

Výpočet betonových konstrukcí proveden podle normy EN 1992-1-1 (EC2).

#### Beton : C 20/25

Válcová pevnost v tlaku  $f_{ck} = 20,00$  MPa

Pevnost v tahu  $f_{ctm} = 2,20$  MPa

Modul pružnosti  $E_{cm} = 30000,00$  MPa


#### Ocel podélná : B500

Mez kluzu  $f_{yk} = 500,00$  MPa

#### Ocel příčná: B500

Mez kluzu  $f_{yk} = 500,00$  MPa

### Geologický profil a přiřazení zemin

Číslo	Mocnost vrstvy t [m]	Hloubka z [m]	Přiřazená zemina	Vzorek
1	-	0,00 .. ∞	Třída F7, konzistence tuhá	

### Zatížení

Číslo	Zatížení		Název	Typ	N [kN]	$M_x$ [kNm]	$M_y$ [kNm]	$H_x$ [kN]	$H_y$ [kN]
	nové	změna							
1	Ano		Zatížení č. 1	Užitné	420,00	0,00	0,00	0,00	0,00
2	Ano		Zatížení č. 2	Návrhové	588,00	0,00	0,00	0,00	0,00

### Celkové nastavení výpočtu

Typ výpočtu : výpočet pro odvozené podmínky

### Nastavení výpočtu fáze

Návrhová situace : trvalá

### Posouzení čís. 1

#### Posouzení zatěžovacích stavů

Název	$e_x$ [m]	$e_y$ [m]	$\sigma$ [kPa]	$R_d$ [kPa]	Využití [%]	Vyhovuje
Zatížení č. 2	0,00	0,00	144,81	375,34	38,58	Ano

Výpočet proveden s automatickým výběrem nejnepríznivějších zatěžovacích stavů.

Spočtená vlastní tíha patky  $G = 66,79 \text{ kN}$

Spočtená tíha nadloží  $Z = 46,08 \text{ kN}$

### Posouzení svislé únosnosti

Tvar kontaktního napětí : obdélník

Nejnepříznivější zatěžovací stav číslo 2. (Zatížení č. 2)

Parametry smykové plochy pod základem:

Hloubka smykové plochy  $z_{sp} = 2,42 \text{ m}$

Dosah smykové plochy  $l_{sp} = 6,15 \text{ m}$

Výpočtová únosnost zákl. půdy  $R_d = 375,34 \text{ kPa}$

Extrémní kontaktní napětí  $\sigma = 144,81 \text{ kPa}$

### Svislá únosnost VYHOVUJE

### Posouzení excentricity zatížení

Max. excentricita ve směru délky patky  $e_x = 0,000 < 0,333$

Max. excentricita ve směru šířky patky  $e_y = 0,000 < 0,333$

Max. prostorová excentricita  $e_t = 0,000 < 0,333$

### Excentricita zatížení základu VYHOVUJE

### Posouzení vodorovné únosnosti

Nejnepříznivější zatěžovací stav číslo 2. (Zatížení č. 2)

Zemní odpor: klidový

Výpočtová velikost zemního odporu  $S_{pd} = 16,42 \text{ kN}$

Horizontální únosnost základu  $R_{dh} = 292,54 \text{ kN}$

Extrémní horizontální síla  $H = 0,00 \text{ kN}$

### Vodorovná únosnost VYHOVUJE

### Únosnost základu VYHOVUJE

## Posouzení čís. 1

### Sednutí a natočení základu - vstupní data

Výpočet proveden s automatickým výběrem nejnepříznivějších zatěžovacích stavů.

Výpočet proveden s uvažováním koeficientu  $\kappa_1$  (vliv hloubky založení).

Napětí v základové spáře neuvažováno.

Spočtená vlastní tíha patky  $G = 66,79 \text{ kN}$

Spočtená tíha nadloží  $Z = 46,08 \text{ kN}$

Sednutí středu hrany x - 1 = 18,0 mm

Sednutí středu hrany x - 2 = 18,0 mm

Sednutí středu hrany y - 1 = 18,0 mm

Sednutí středu hrany y - 2 = 18,0 mm

Sednutí středu základu = 28,9 mm

Sednutí charakterist. bodu = 20,4 mm

(1-hrana max.tlačená; 2-hrana min.tlačená)

### Sednutí a natočení základu - výsledky

#### Tuhost základu:

Spočtený vážený průměrný modul přetvárnosti  $E_{def} = 2,80 \text{ MPa}$

Základ je ve směru délky tuhý ( $k=217,34$ )

Základ je ve směru šířky tuhý ( $k=217,34$ )

### Posouzení excentricity zatížení

Max. excentricita ve směru délky patky  $e_x = 0,000 < 0,333$

Max. excentricita ve směru šířky patky  $e_y = 0,000 < 0,333$

Max. prostorová excentricita  $e_t = 0,000 < 0,333$

### Excentricita zatížení základu VYHOVUJE

#### Celkové sednutí a natočení základu:

Sednutí základu = 20,4 mm

Hloubka deformační zóny = 3,86 m

Natočení ve směru x = 0,000 (tan\*1000); (9,3E-17 °)

Natočení ve směru y = 0,000 (tan\*1000); (9,3E-17 °)

### Dimenzace čís. 1

Výpočet proveden s automatickým výběrem nejnepříznivějších zatěžovacích stavů.

#### Posouzení podélné výztuže základu ve směru x

15 ks profil 12,0 mm, krytí 40,0 mm

Šířka průřezu = 2,20 m

Výška průřezu = 0,60 m

Stupeň vyztužení  $\rho = 0,14 \% > 0,13 \% = \rho_{min}$

Poloha neutrálné osy  $x = 0,03 \text{ m} < 0,34 \text{ m} = x_{max}$

Moment na mezi únosnosti  $M_{Rd} = 399,35 \text{ kNm} > 51,88 \text{ kNm} = M_{Ed}$

#### Průřez VYHOVUJE.

#### Posouzení podélné výztuže základu ve směru y

15 ks profil 12,0 mm, krytí 40,0 mm

Šířka průřezu = 2,20 m

Výška průřezu = 0,60 m

Stupeň vyztužení  $\rho = 0,14 \% > 0,13 \% = \rho_{min}$

Poloha neutrálné osy  $x = 0,03 \text{ m} < 0,34 \text{ m} = x_{max}$

Moment na mezi únosnosti  $M_{Rd} = 399,35 \text{ kNm} > 51,88 \text{ kNm} = M_{Ed}$

#### Průřez VYHOVUJE.

#### Posouzení základu na protlačení

Normálová síla v sloupu = 588,00 kN

#### Maximální únosnost na obvodu sloupu

Síla přenesená roznášením do zákl. půdy = 121,49 kN

Síla přenášená smykovou pevností patky = 466,51 kN

Uvažovaný obvod sloupu  $u_0 = 4,00 \text{ m}$

Smykové napětí na obvodu sloupu  $v_{Ed,max} = 0,21 \text{ MPa}$

Únosnost na obvodu sloupu  $v_{Rd,max} = 2,94 \text{ MPa}$

#### Kritický průřez bez smykové výztuže

Síla přenesená roznášením do zákl. půdy = 285,37 kN

Síla přenášená smykovou pevností patky = 302,63 kN

Vzdálenost průřezu od sloupu = 0,28 m

Délka průřezu  $u = 5,74 \text{ m}$

Smykové napětí na průřezu  $v_{Ed} = 0,10 \text{ MPa}$

Únosnost nevyztuženého průřezu  $v_{Rd,c} = 1,27 \text{ MPa}$

$v_{Ed} < v_{Rd,c} \Rightarrow$  Výztuž není nutná



**Základ na protlačení VYHOVUJE**